

Abb. 1 Fundstätten im alten Mexiko, aus: Séjourné 1971: 269.

	Atlahualilo	13 feb-4 mar 1507	Tlacaxipehualiztli	5 mar-24 mar	Tozozontli	25 mar-13 abr	Hueitzoztli	14 abr-5 may	Tōxcatl	4 may-25 may	Etlacualiztli	24 may-12 jun	Tecuilhuitontli	13 jun-2 jul	Hueitecuilhuitl	3 jul-22 jul	Tlaxochimaco	23 jul-11 ago	Xocotlhuetzli	12 ago-31 ago	Ochpaniztli	1 sep-20 sep	Trotiteco	21 sep-10 oct	Tepilhuitl	11 oct-30 oct	Quecholli	31 oct-19 nov	Panquetzaliztli	20 nov-9 dic	Atemoztli	10 dic-29 dic	Tititl	30 dic-18 ene 1508	Izcalli	19 ene-7 feb	Nemontemi	8 feb-12 feb		
1°	Océlotl	1	8	2	9	3	10	4	11	5	12	6	13	7	1	8	2	9	3	10	4	11	5	12	6	13	7	1	8	2	9	3	10	4	11	5	12			
2°	Cuauhtli	2	9	3	10	4	11	5	12	6	13	7	1	8	2	9	3	10	4	11	5	12	6	13	7	1	8	2	9	3	10	4	11	5	12	6	13			
3°	Cozca- cuauhtli	3	10	4	11	5	12	6	13	7	1	8	2	9	3	10	4	11	5	12	6	13	7	1	8	2	9	3	10	4	11	5	12	6	13	7	1			
4°	Ollin	4	11	5	12	6	13	7	1	8	2	9	3	10	4	11	5	12	6	13	7	1	8	2	9	3	10	4	11	5	12	6	13	7	1	8	2	9		
5°	Técpatl	5	12	6	13	7	1	8	2	9	3	10	4	11	5	12	6	13	7	1	8	2	9	3	10	4	11	5	12	6	13	7	1	8	2	9	3	10		
6°	Quiyáhuatl	6	13	7	1	8	2	9	3	10	4	11	5	12	6	13	7	1	8	2	9	3	10	4	11	5	12	6	13	7	1	8	2	9	3	10	4	11		
7°	Xóchitl	7	1	8	2	9	3	10	4	11	5	12	6	13	7	1	8	2	9	3	10	4	11	5	12	6	13	7	1	8	2	9	3	10	4	11	5	12		
8°	Cipactli	8	2	9	3	10	4	11	5	12	6	13	7	1	8	2	9	3	10	4	11	5	12	6	13	7	1	8	2	9	3	10	4	11	5	12	6	13		
9°	Ehécatl	9	3	10	4	11	5	12	6	13	7	1	8	2	9	3	10	4	11	5	12	6	13	7	1	8	2	9	3	10	4	11	5	12	6	13	7	1		
10°	Calli	10	4	11	5	12	6	13	7	1	8	2	9	3	10	4	11	5	12	6	13	7	1	8	2	9	3	10	4	11	5	12	6	13	7	1	8	2	9	
11°	Guetzpallin	11	5	12	6	13	7	1	8	2	9	3	10	4	11	5	12	6	13	7	1	8	2	9	3	10	4	11	5	12	6	13	7	1	8	2	9	3	10	
12°	Cóhuatl	12	6	13	7	1	8	2	9	3	10	4	11	5	12	6	13	7	1	8	2	9	3	10	4	11	5	12	6	13	7	1	8	2	9	3	10	4	11	
13°	Miquiztli	13	7	1	8	2	9	3	10	4	11	5	12	6	13	7	1	8	2	9	3	10	4	11	5	12	6	13	7	1	8	2	9	3	10	4	11	5	12	
14°	Máxatl	1	8	2	9	3	10	4	11	5	12	6	13	7	1	8	2	9	3	10	4	11	5	12	6	13	7	1	8	2	9	3	10	4	11	5	12	6	13	
15°	Tochtli	2	9	3	10	4	11	5	12	6	13	7	1	8	2	9	3	10	4	11	5	12	6	13	7	1	8	2	9	3	10	4	11	5	12	6	13	7	1	
16°	Atl	3	10	4	11	5	12	6	13	7	1	8	2	9	3	10	4	11	5	12	6	13	7	1	8	2	9	3	10	4	11	5	12	6	13	7	1	8	2	9
17°	Itzcuintli	4	11	5	12	6	13	7	1	8	2	9	3	10	4	11	5	12	6	13	7	1	8	2	9	3	10	4	11	5	12	6	13	7	1	8	2	9	3	10
18°	Ozomatli	5	12	6	13	7	1	8	2	9	3	10	4	11	5	12	6	13	7	1	8	2	9	3	10	4	11	5	12	6	13	7	1	8	2	9	3	10		
19°	Malinalli	6	13	7	1	8	2	9	3	10	4	11	5	12	6	13	7	1	8	2	9	3	10	4	11	5	12	6	13	7	1	8	2	9	3	10	4	11		
20°	Acatl	7	1	8	2	9	3	10	4	11	5	12	6	13	7	1	8	2	9	3	10	4	11	5	12	6	13	7	1	8	2	9	3	10	4	11	5	12		

Abb. 2

Kalenderkorrelation des Sonnenjahres nach Sahagún (oben) für das Jahr 1507 (gregorianisch), fortlaufende Nummerierung der Tageszeichen (links) in Übereinstimmung mit den Tagen im Sonnejahr, aus: Tena 1992: 105.

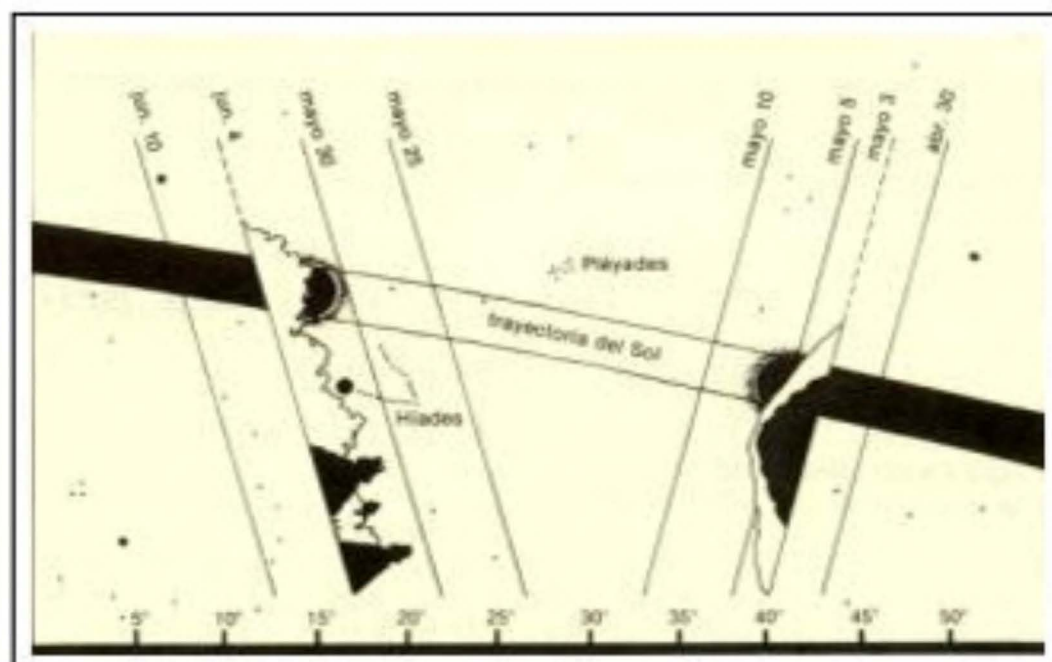


Abb. 3

Die Nichtsichtbarkeit der Plejaden aufgrund ihrer von der Erde aus wahrgenommenen retrograden Bewegung, 1500 u.Z., 21° n.B., verwendete Daten aus: Aveni 1997: 129.

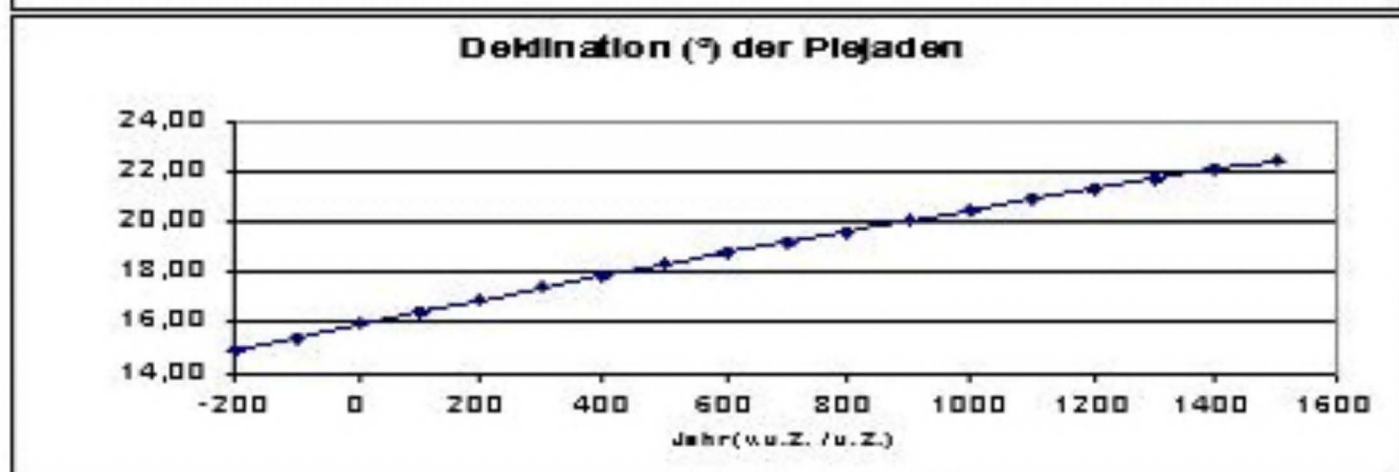
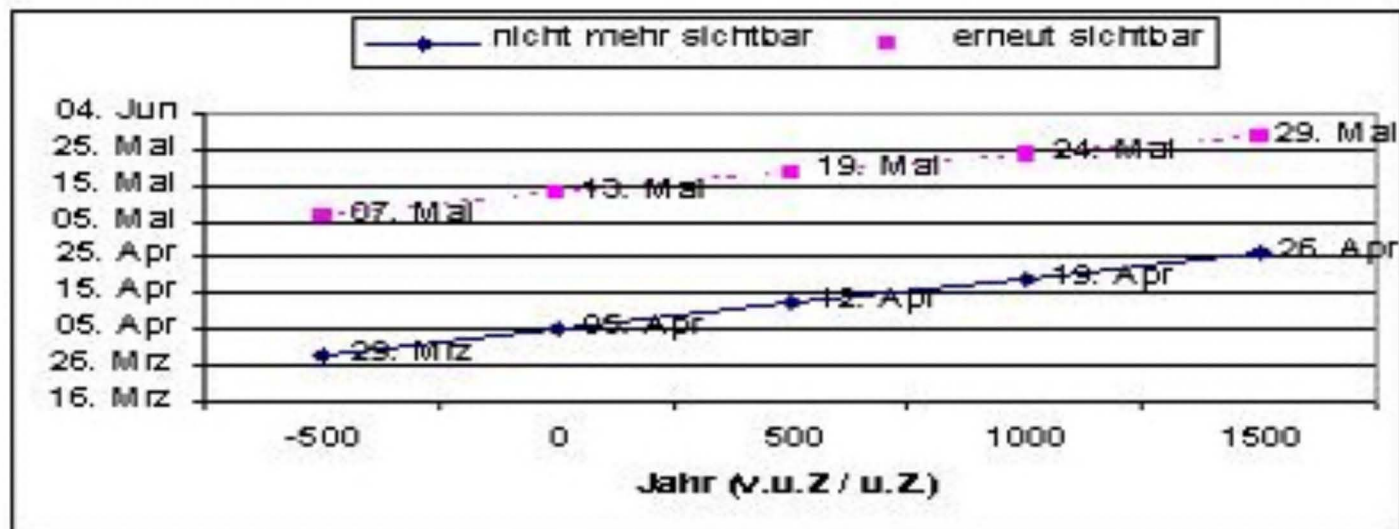


Abb. 4 (oben) Verschiebung der Periode der Nichtsichtbarkeit der Plejaden über einen Zeitraum von 2000 Jahren bei 21° nördlicher Breite, verwendete Daten aus: Aveni 1997: 134/135.

Abb. 5 (unten) Die Deklination der Plejaden

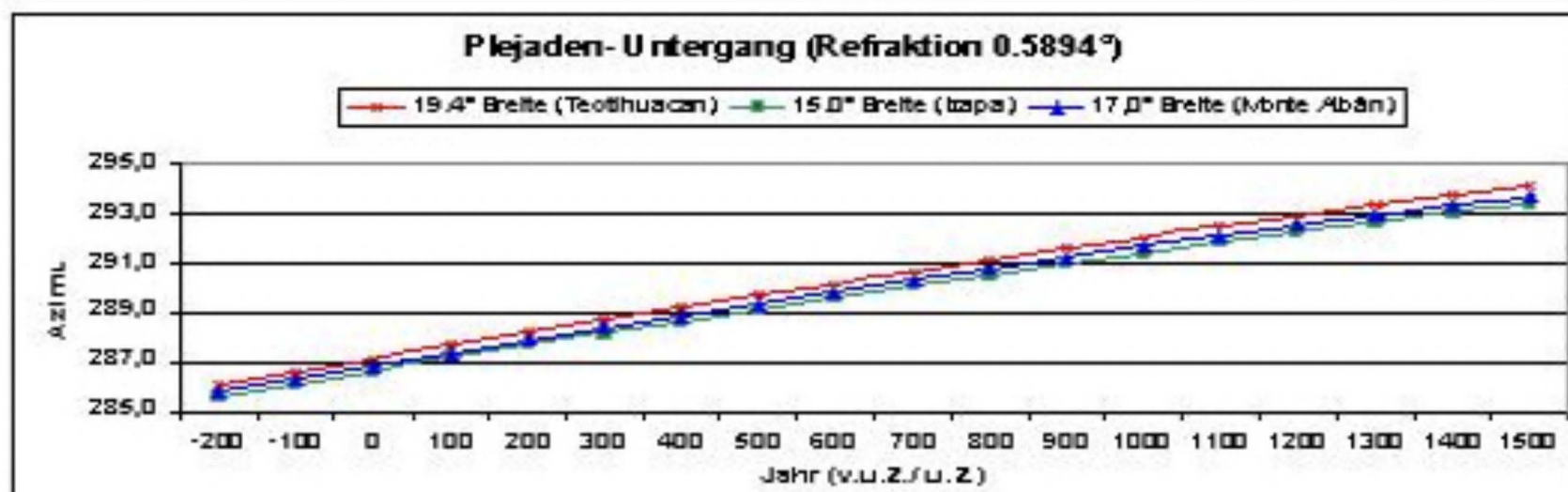
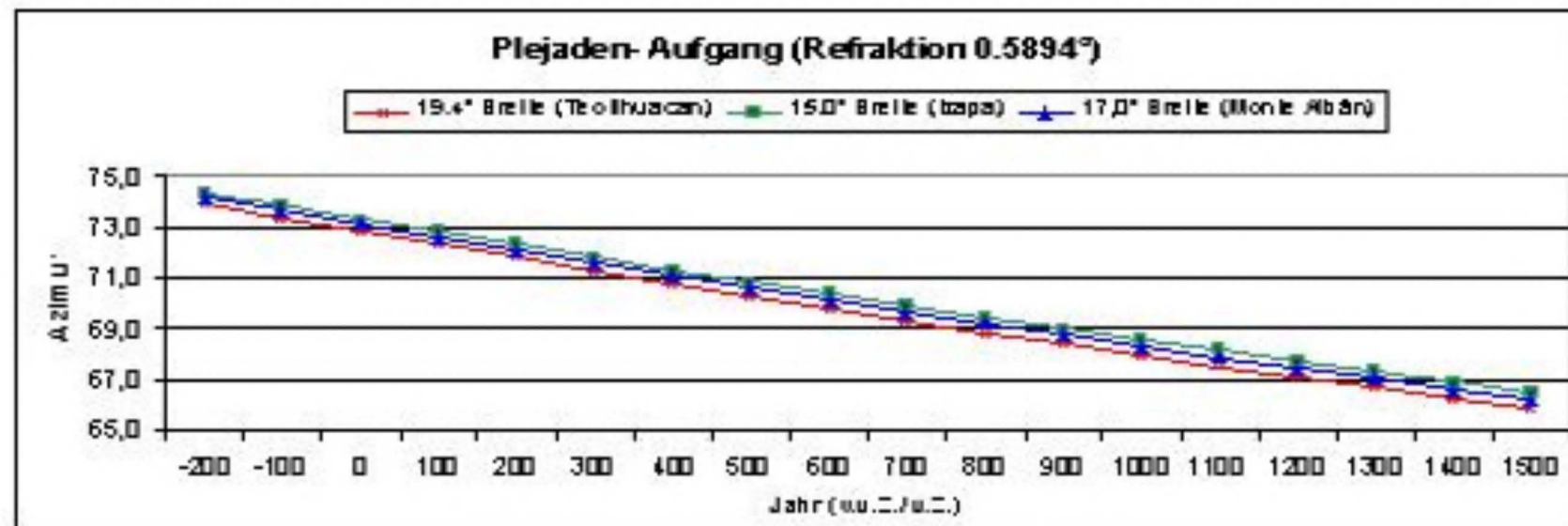


Abb. 6 (oben) Aufgang der Plejaden  
 Abb. 7 (unten) Untergang der Plejaden



Abb. 8

Abb. 8 Sternenbeobachter, Madrider Codex fol. 34, späte Postklassik.

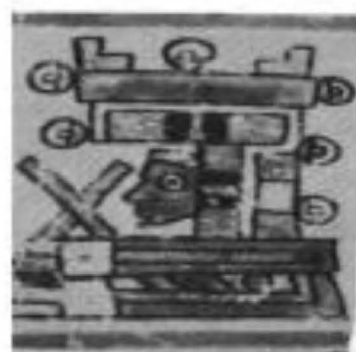


Abb. 9

Abb. 9

Beobachtung mit Hilfe der überkreuzten Stäbe, Codex Bodley: fol. 31/32.



Abb. 10

Abb. 10

Messung einer Sonnenaufgangslinie mit Hilfe eines Paares überkreuzter Stäbe, aus: Tichy 1991: 29, Aveni 1991: 79.

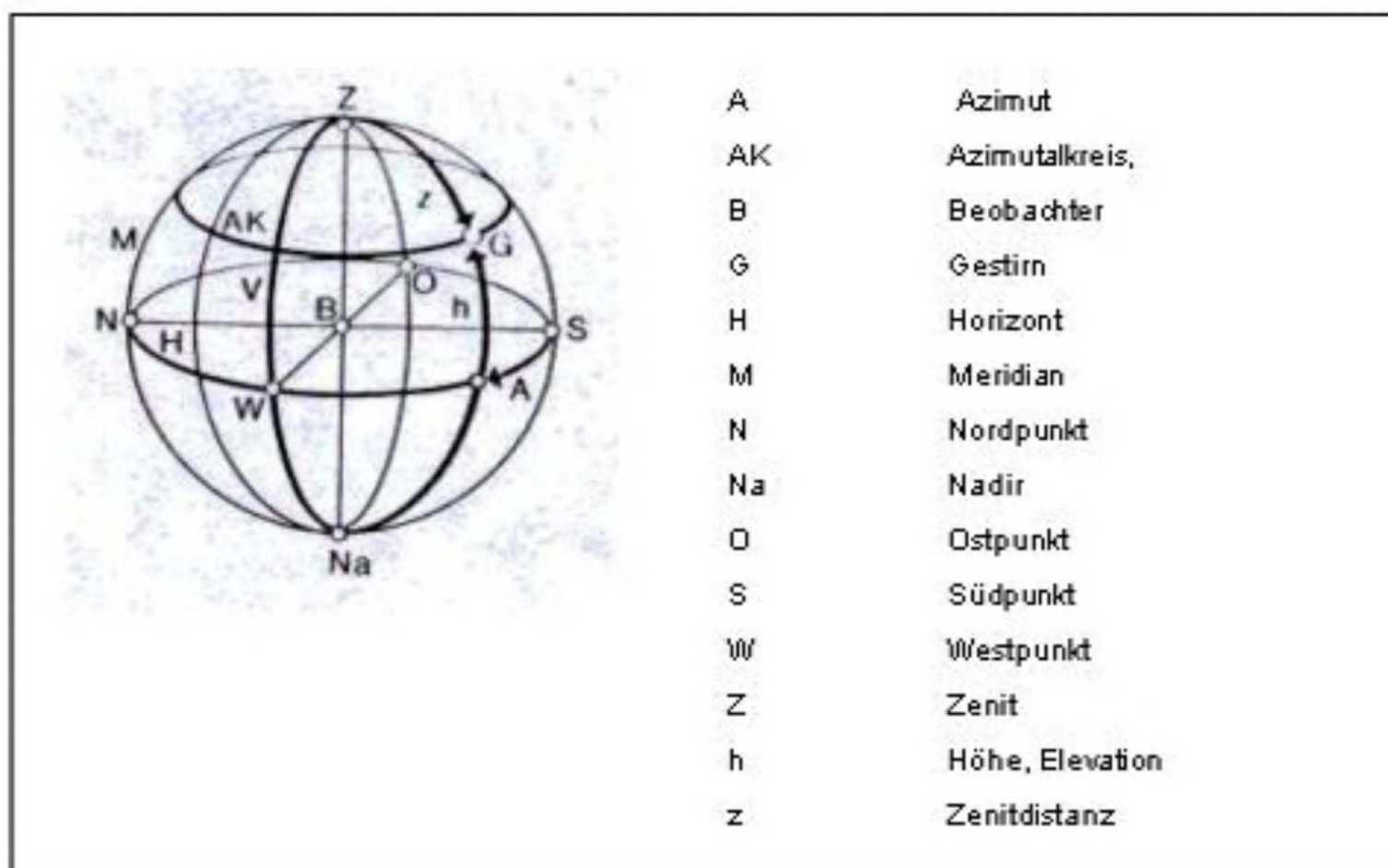


Abb. 11 Azimutsystem, aus: Brockhaus, Bd.2 (1996): 243.

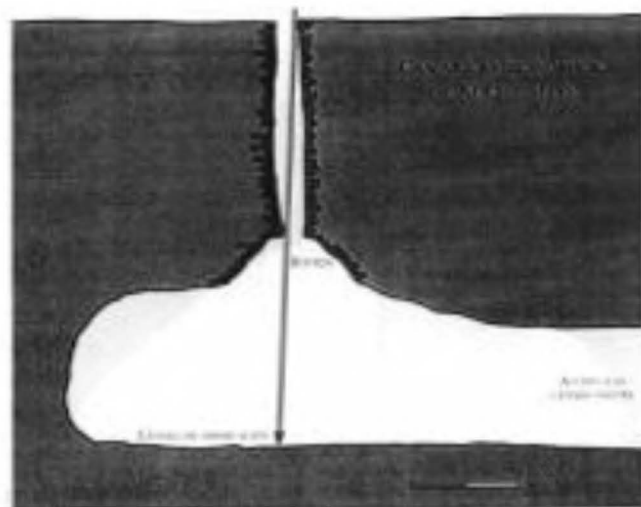


Abb. 12 Beobachtungsschacht in Xochicalco, aus: López Morante 1999: 49.



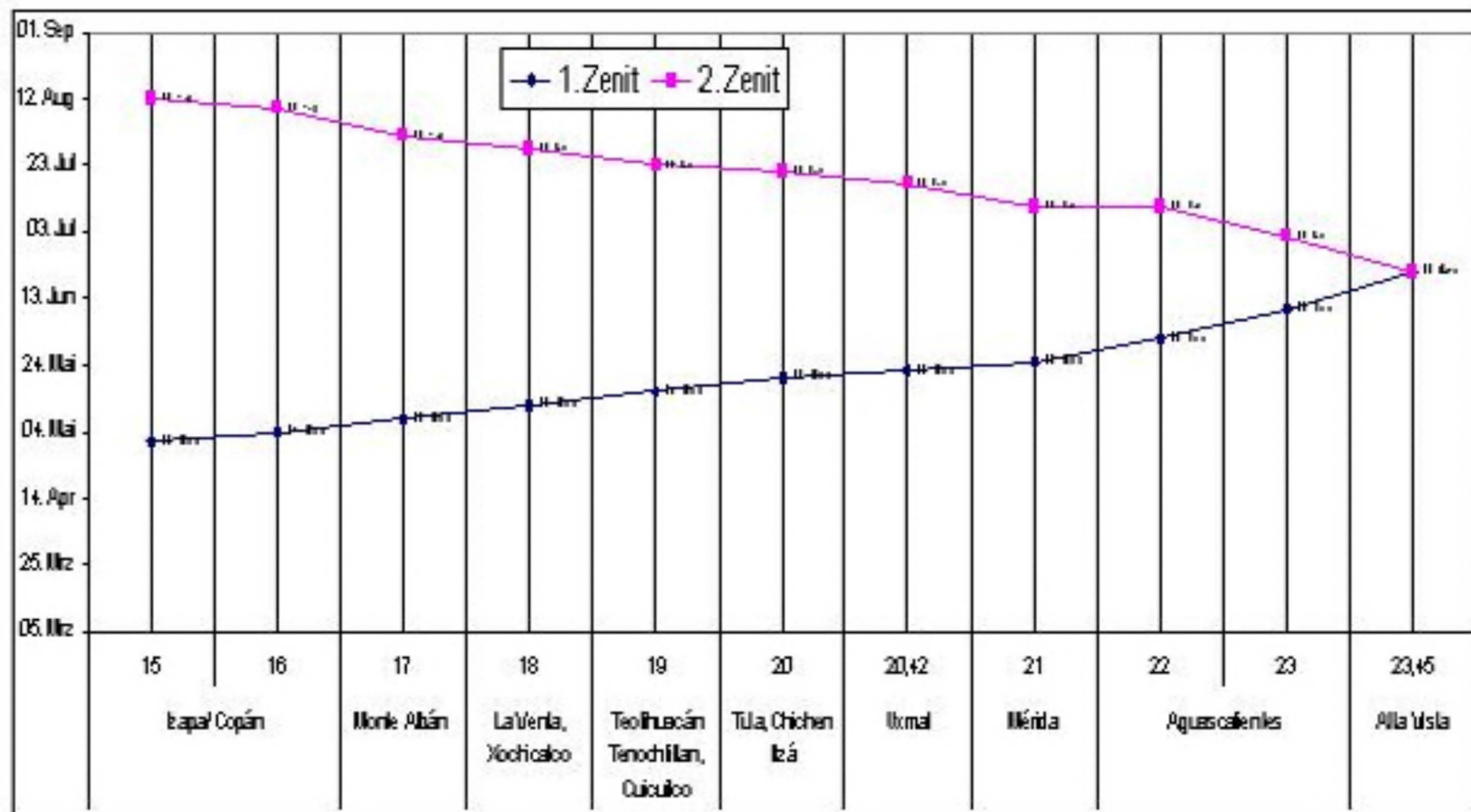


Abb. 13

Die Tage mit Zenitdurchgang der Sonne zwischen 15° und 23° n.B.,  
aus: Tichy 1985: 111.

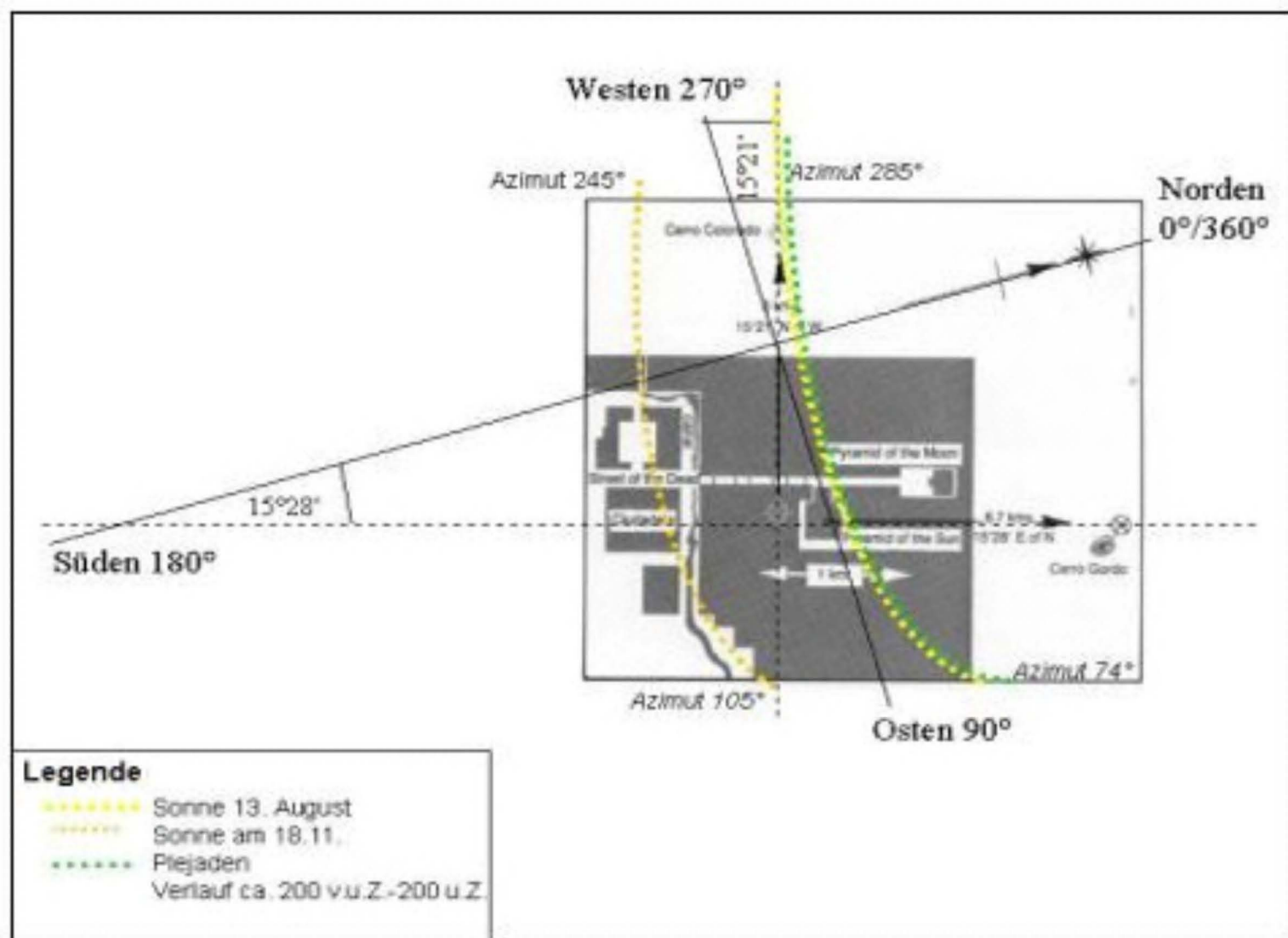


Abb. 14 Verlauf der Sonne und der Plejaden über Teotihuacán, Grundplan aus: Aveni 1980: 223.

Jahr	Position Der Plejaden	Venus Längengrad	Deklination Plejaden	Deklination Venus	Venusphase	Julianisches Datum	
670	37	37			IK	24. Apr	670
	37	37			MS	06. Jun	671
	37	37			AS	25. Mrz	672
	37	37			MS	09. Mai	673
	37	37			AS	20. Mrz	674
	37	37			MS	10. Jun	674
	37	37			AS	19. Apr	675
	37	37			MS	23. Mai	676
	37	37			AS	12. Mrz	677
	37	37			IK	24. Apr	678
900	40	40			MS	10. Mai	900
	40	40			AS**	13. Apr	901
	40	40			MS	11. Jun	901
	40	40			AS	10. Apr	902
	40	40			MS	26. Mai	903
	40	40			AS	13. Mrz	904
	40	40			ÄK	25. Apr	905
	40	40			MS	07. Jun	906
	40	40			AS	27. Mrz	907
	40	40			MS	10. Mai	908
1500	49	49			AS	17. Apr	1500
	49	49			MS	22. Mai	1501
	49	49			AS	16. Mrz	1502
	49	49			AS*	23. Apr	1503
	49	49			MS	05. Jun	1504
	49	49			AS	24. Mrz	1505
	49	49			MS+	09. Mai	1506
	49	49			MS	17. Jun	1507
	49	49			AS	07. Apr	1508

MS- Morgenstern, AS- Abendstern, ÄK- Äußere Konjunktion, IK- Innere Konjunktion, \*Erstes Erscheinen als Abendstern nach äußerer Konjunktion, \*\* Letzte Sichtbarkeit als Abendstern vor innerer Konjunktion, ++ erste Sichtbarkeit als Morgenstern nach innerer Konjunktion, + Letzte Sichtbarkeit als Morgenstern vor äußerer Konjunktion

Abb. 15: Tage der Konjunktion von Plejaden und Venus, aus: Milbrath 1988: 74.

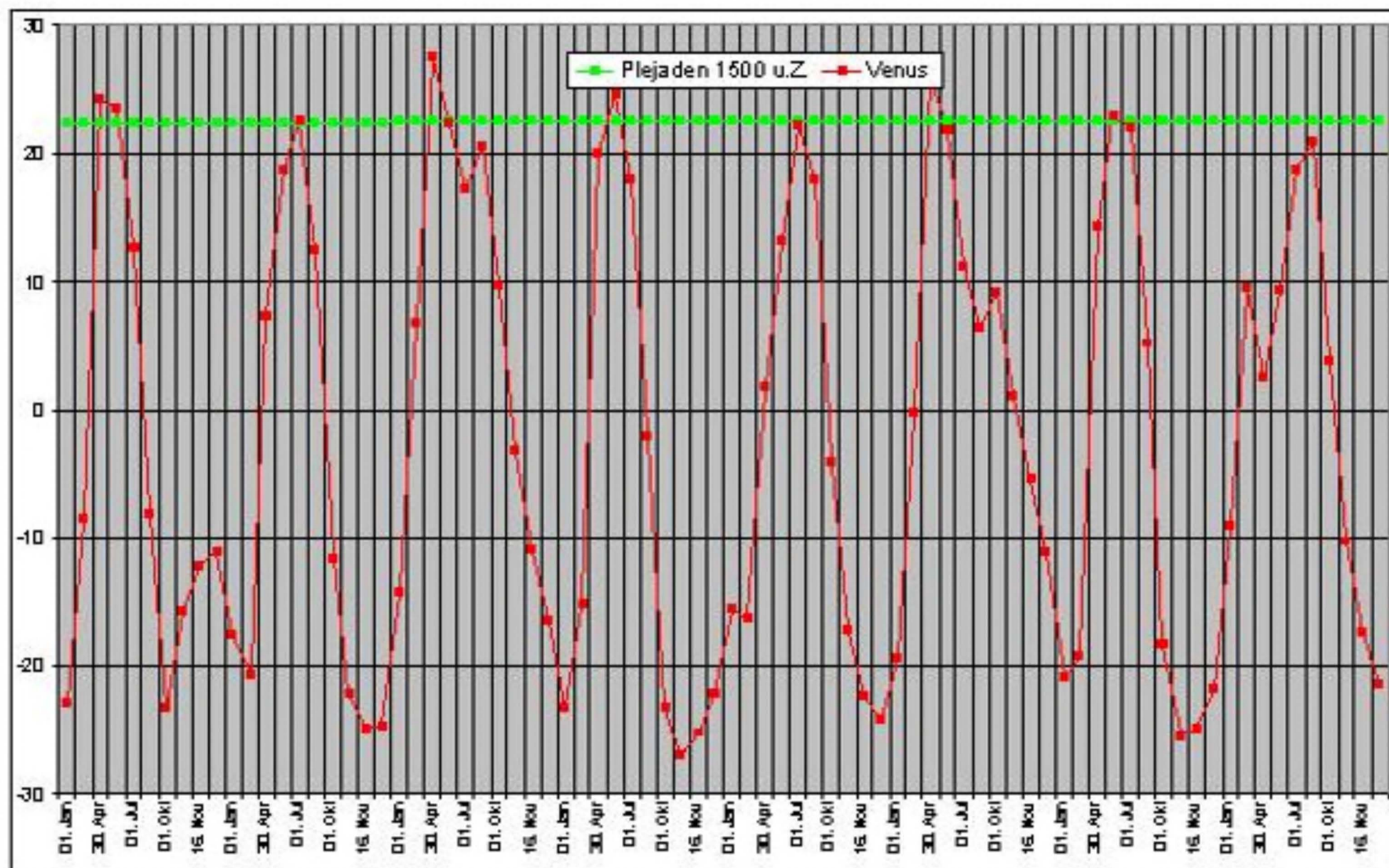


Abb. 16

Die Plejaden zusammen mit dem achtjährigen Zyklus der Venus, hier in den Jahren von 1500- 1507 u.Z.

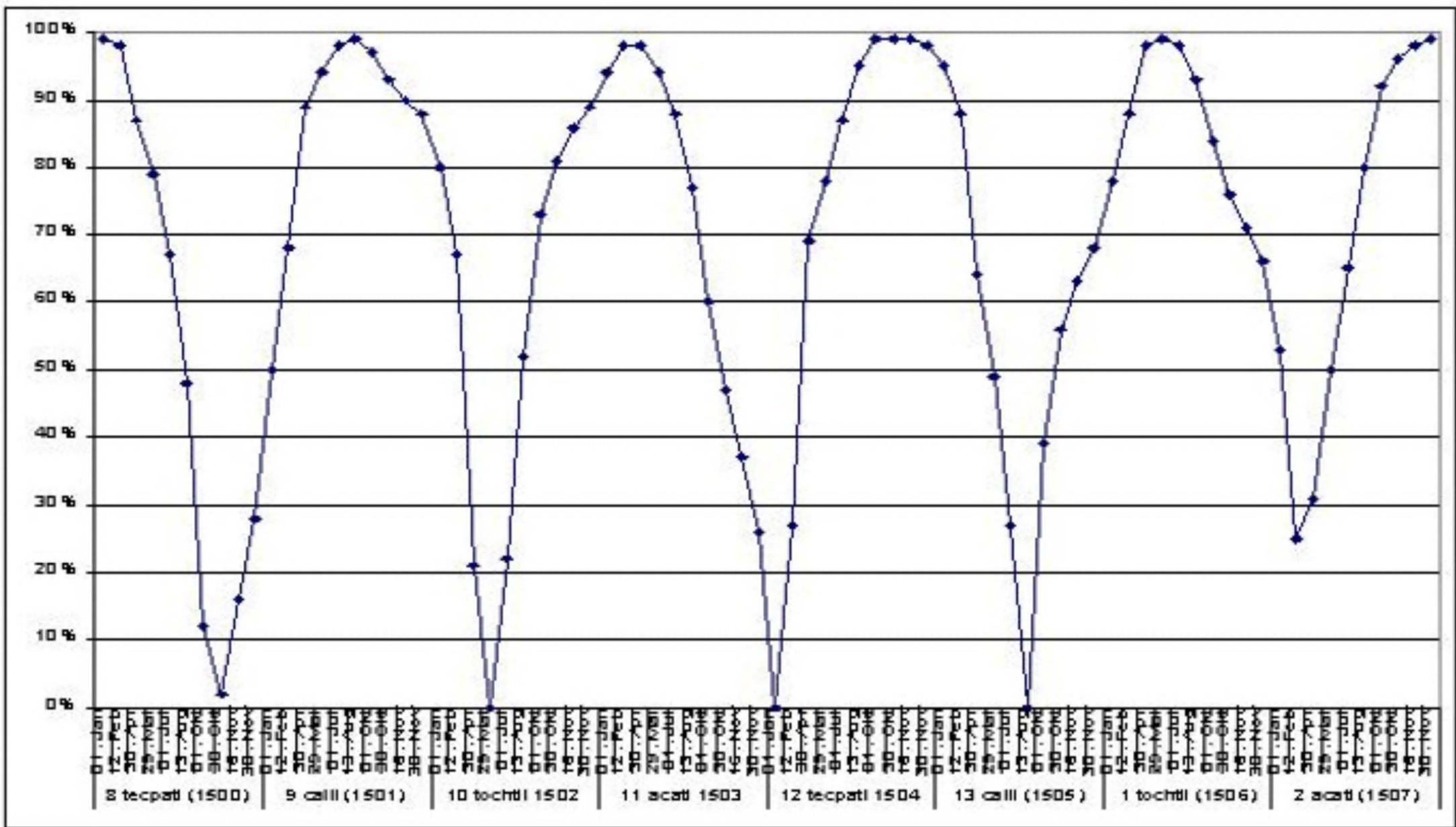


Abb. 17 Illumination der Venus während ihres achtjährigen Zyklus

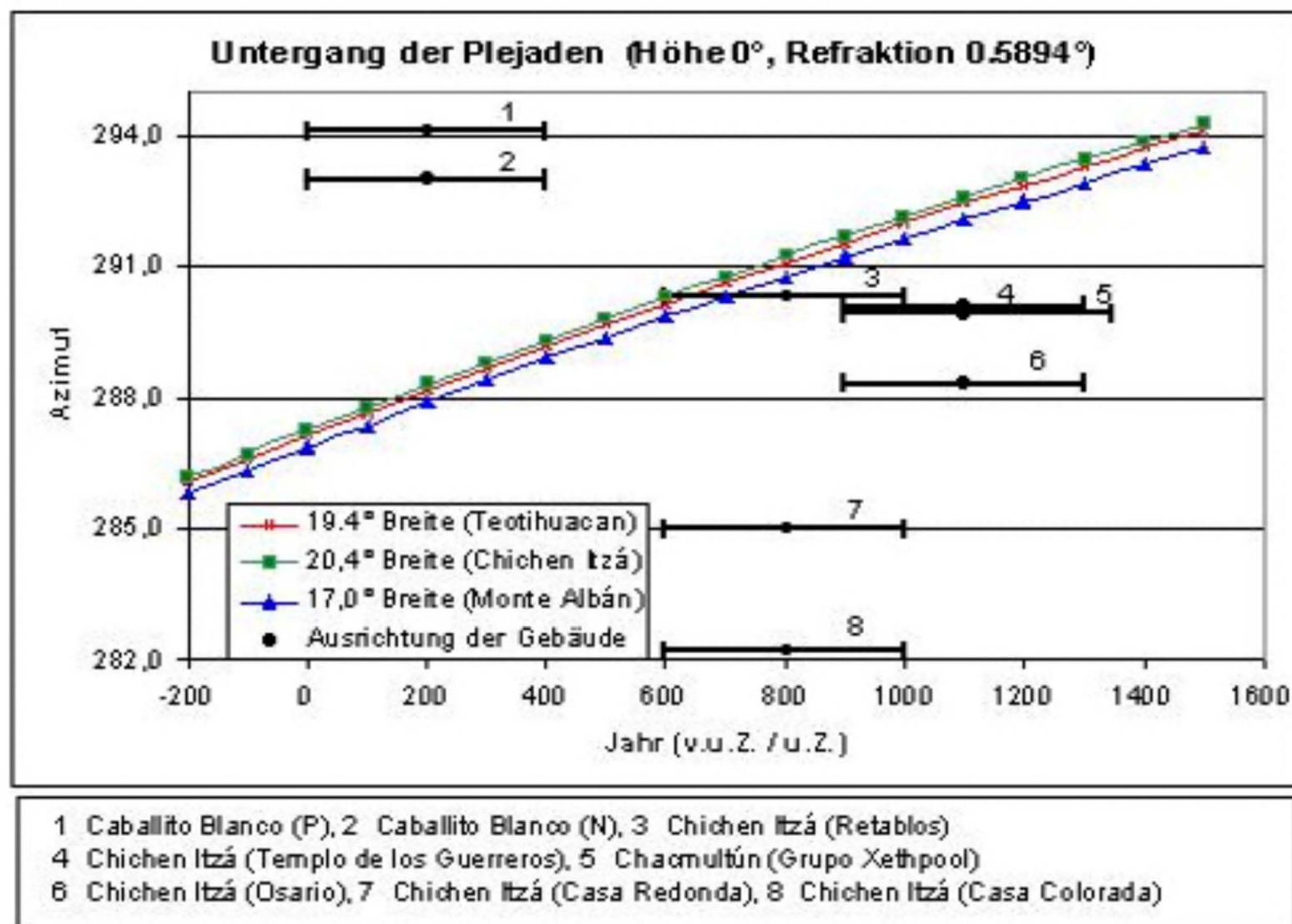


Abb. 18 Die Ausrichtung altmexikanischer Städte nach dem Untergang der Plejaden, verwendete Daten aus: Aveni 1997: 350-357.

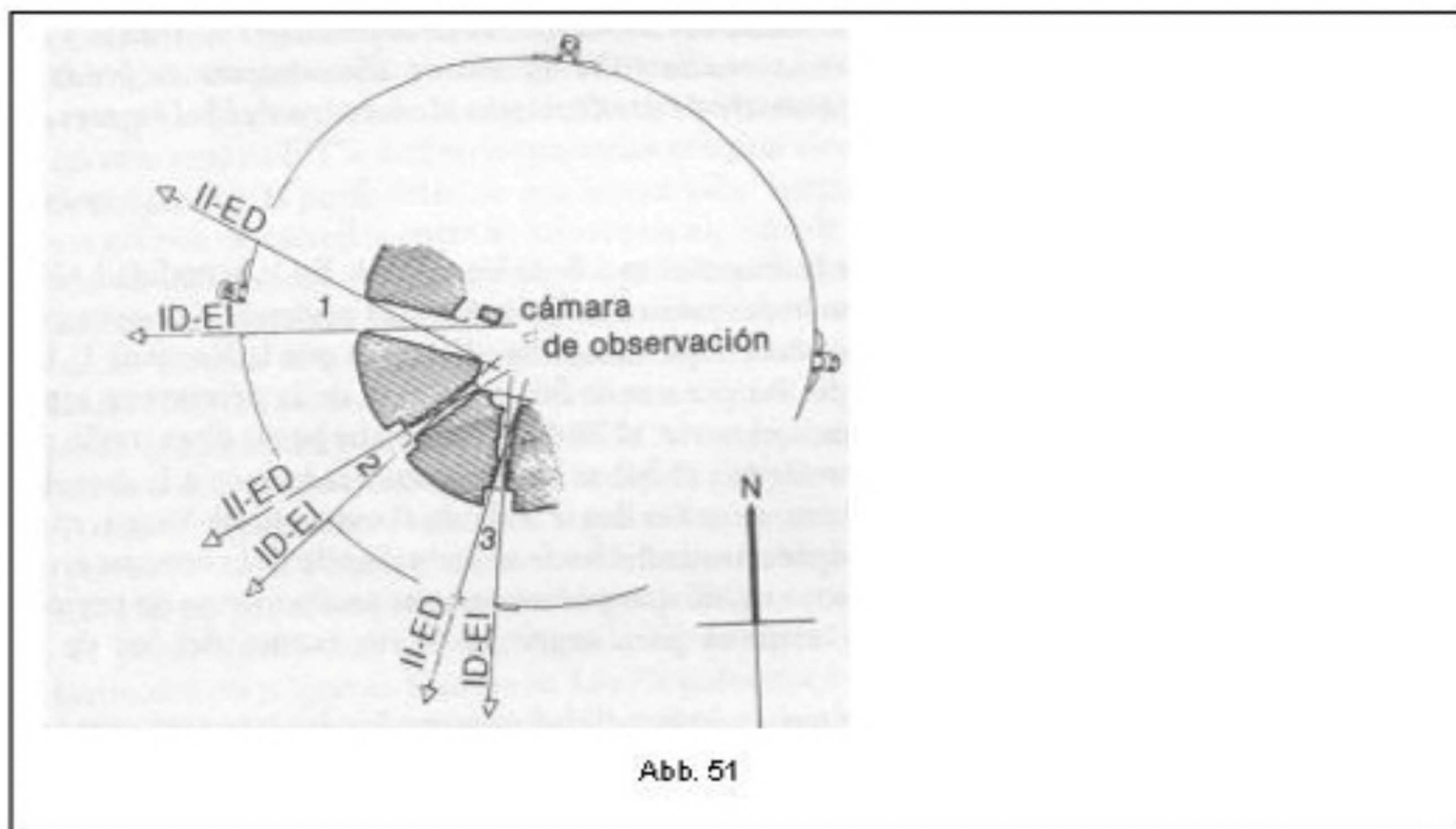


Abb. 19 Die Fenster 1-3 in der Beobachtungskammer des Caracol in Chichen Itzá, II (Interior Izquierda), ED (Exterior Derecha), ID (Interior Derecha), EI (Exterior Izquierda), aus Aveni 1997: 297.

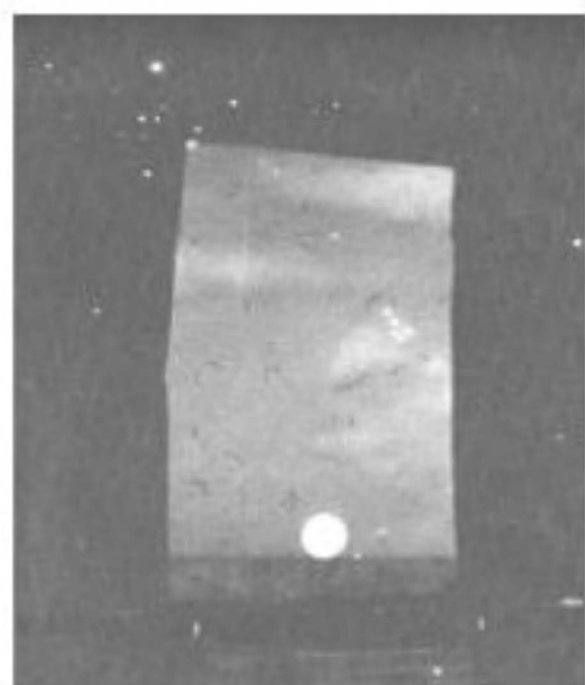


Abb. 20

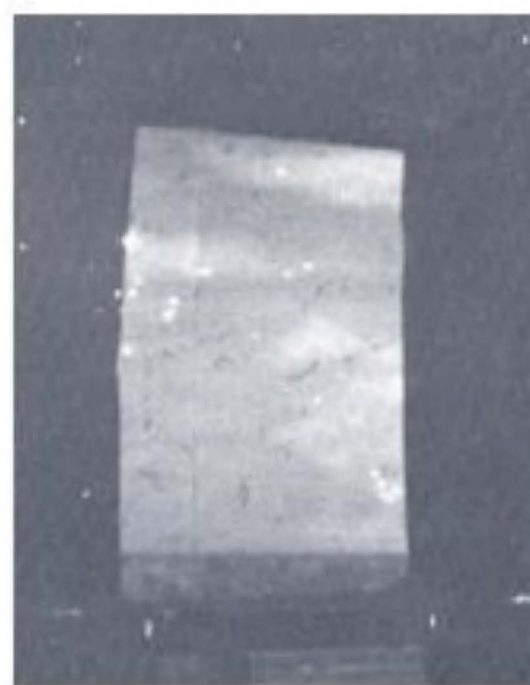


Abb. 21

- Abb. 20/21 Blick aus dem Fenster über die innere linke Ecke und rechte äußere Ecke (II- ED, vgl. Abb. 19)
- Abb. 20 Letztmalige Sichtbarkeit der Plejaden zum Sonnenuntergang um den 30. April 1000 u.Z. kurz vor Sonnenuntergang
- Abb. 21 Einige Minuten später als in Abb. 20 nach Sonnenuntergang.



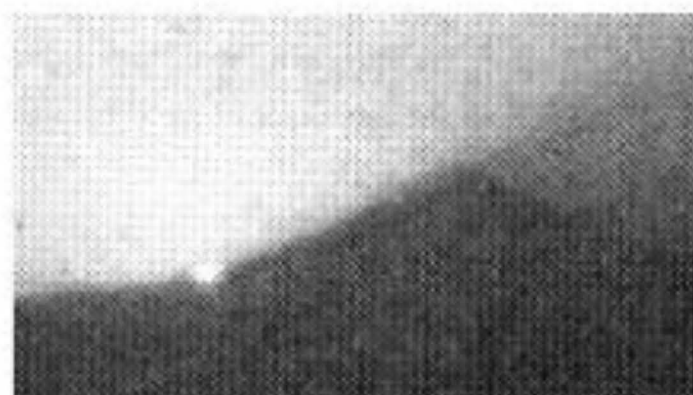


Abb. 22



Abb. 23

Abb. 22      Sonnenaufgang zur Wintersonnenwende  
am Fuße des Popocatepetl, 21. Dezember 1990,  
aus: Broda 1993: 276.

Abb. 23      Sonnenaufgang hinter dem Berg Papayo  
zum Mittagestern, 23. März 1991,  
aus: Broda 1993: 277

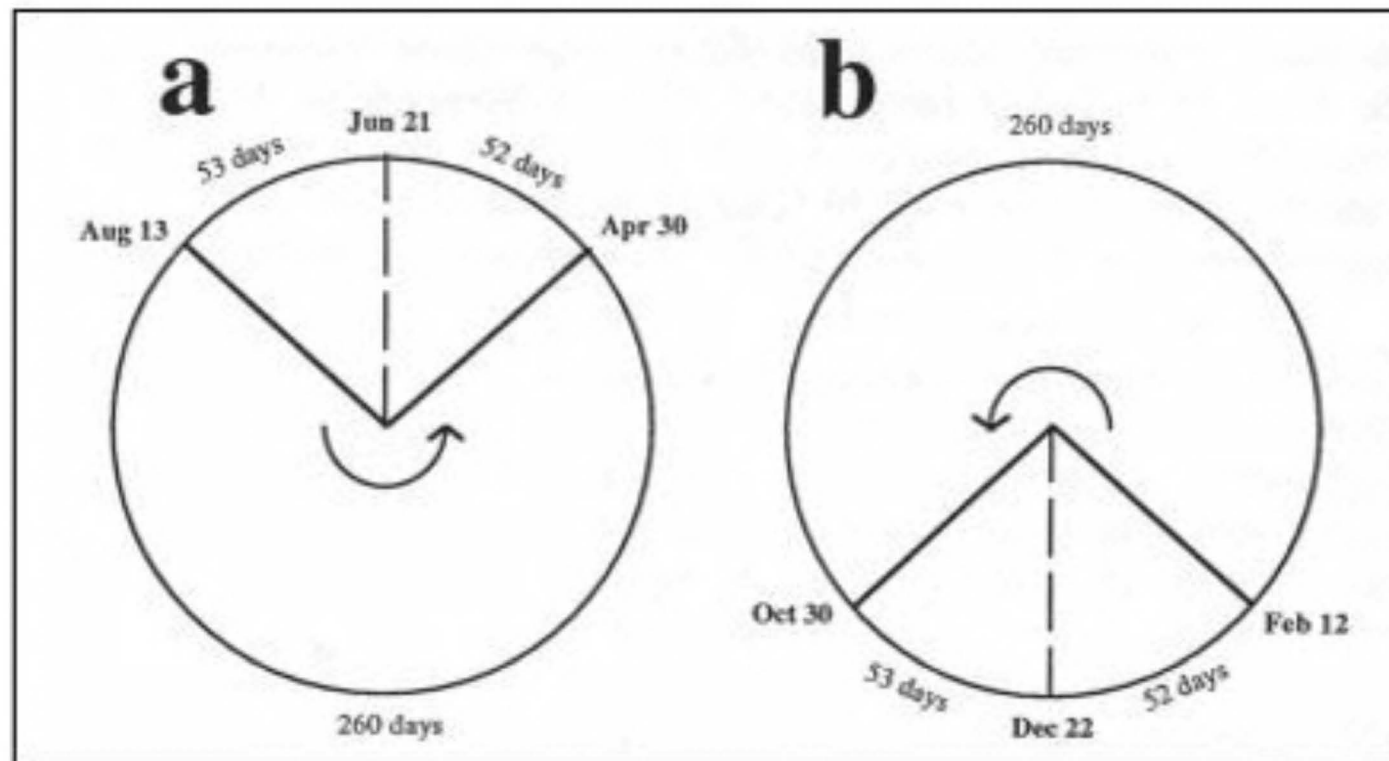


Abb. 25

Tonalpohualli im Xiuhpohualli, Broda 1993: 262.

	<p><u>Linke Seite:</u>  tianquitziv' miec</p> <p>citlalilachtli</p> <p>citlalpol</p> <p>citlalipopoca</p> <p>citlalintlaminā</p> <p>xonecuilli</p> <p>citlalcólotl</p>	<p><u>Rechte Seite:</u>  tonatiuh</p> <p>Metzli</p> <p>Sonnenfinsternis</p> <p>Mondfinsternis</p> <p>mamalhuaztli</p>
--	--	---

Abb. 26 Astronomische Darstellungen im Florentiner Codex (Historia General), in: Anderson, Dibble 1953.

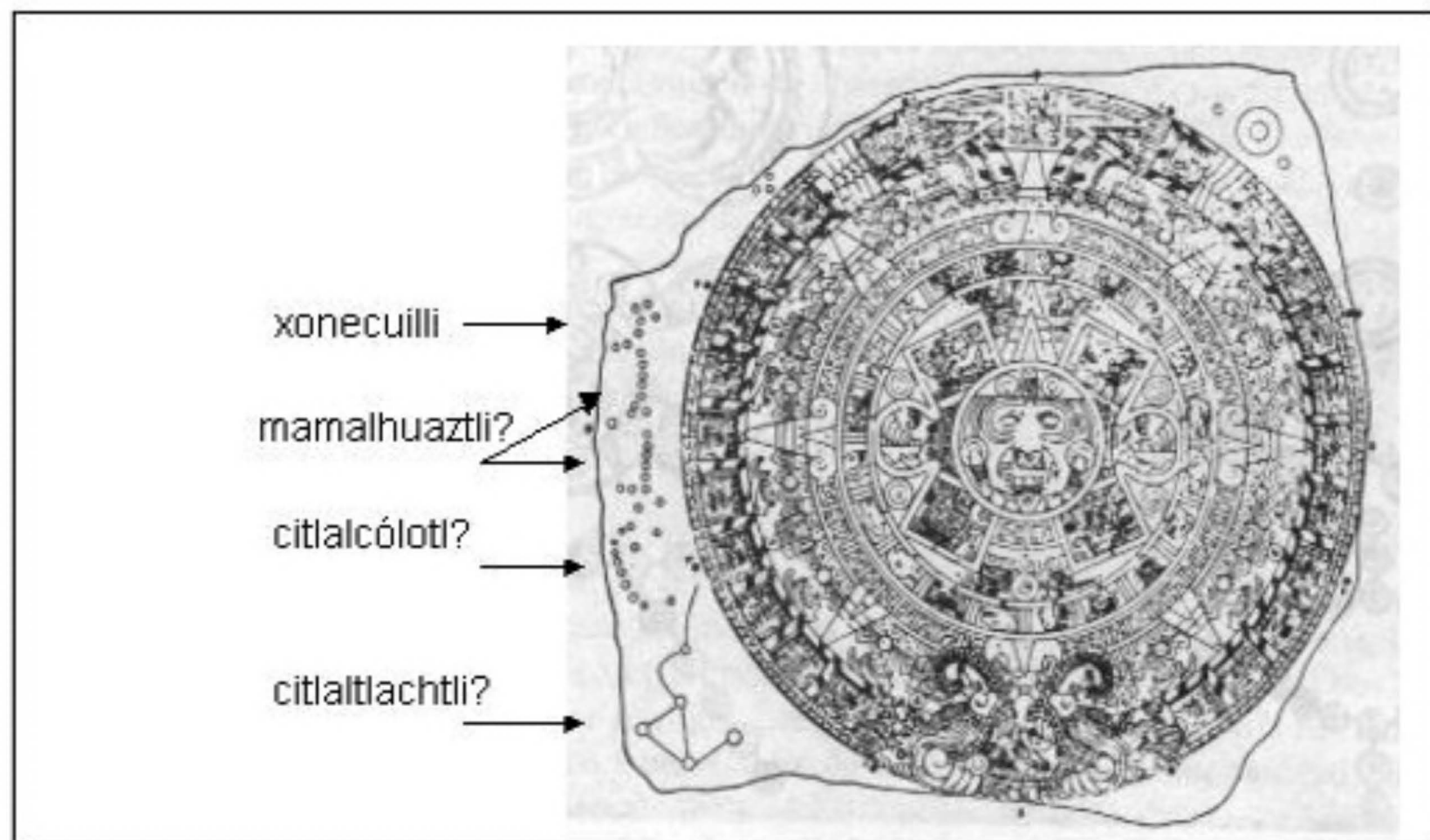


Abb. 27 Aztekischer Kalenderstein mit Inschriften,  
Nuttall 1901, Fig. 56, Benennung der vermuteten  
Sternbilder nach Aveni 1997: 46.

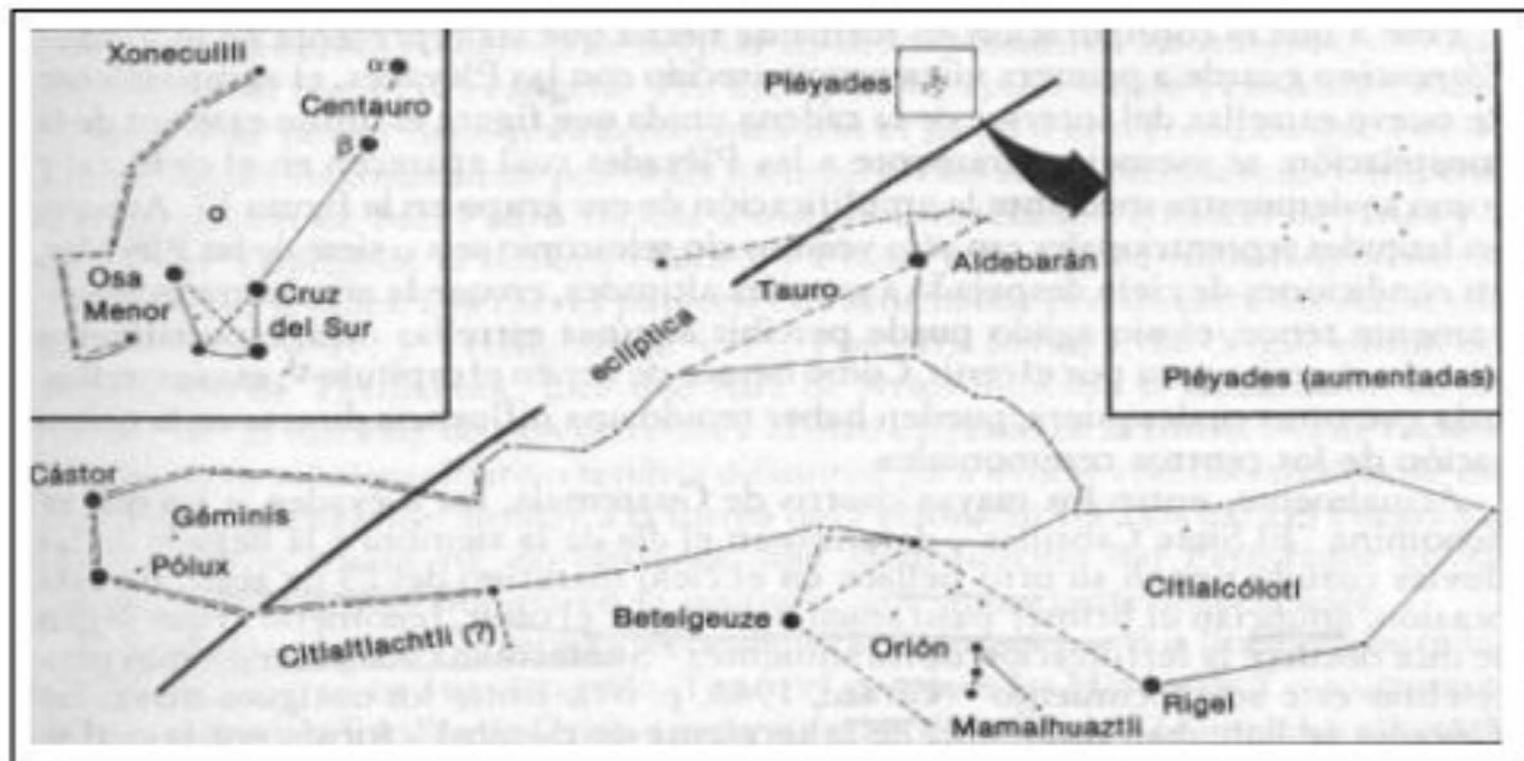


Abb. 28 Versuch der Darstellung des aztekischen Sternenmodells, aus Aveni 1997: 47.



Abb. 30

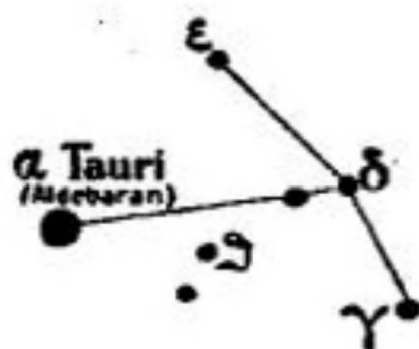


Abb. 29

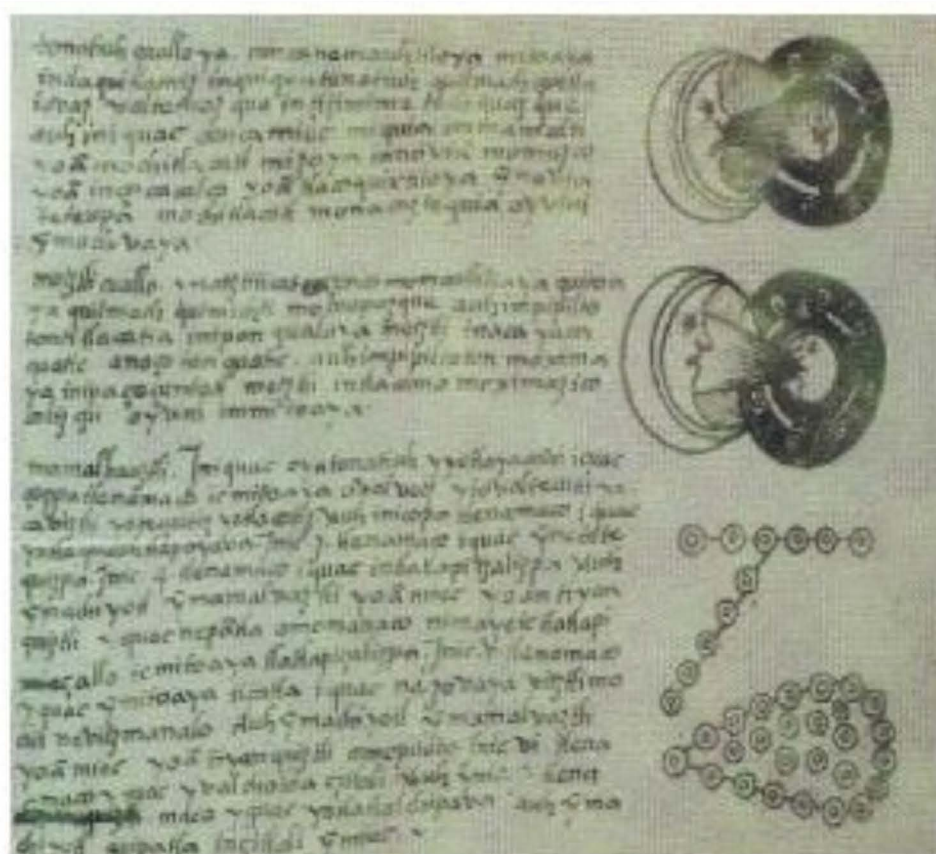


Abb. 31

Abb. 29

Das Sternbild der *mamalhwaiztli* nach Seler (Bd.1 1902: 620).

Abb. 30

Das europäische Sternbild Taurus mit Aldebaran und den Plejaden

Abb. 31

Darstellung der *mamalhwaiztli* zusammen mit *tianquiliztli/miec*, aus: Codex Matritenses, Códice Matritense del Real Palacio, Tepeapulco 1558-1560, fol. 282 r.



**YZTAPAN**

Abb. 34



**YZTATLAN**

Abb. 35



**XALA**

Abb. 33



**Mamalhuaztepec / pueblo**

Abb. 36



**XALTIANQUIZCO**

Abb. 32

- Abb. 32 Xaltianquizco, der „Ort des sandigen Marktplatzes“, Codex Mendoza: fol. 16v., aus: Anawalt 1992: 223.  
 Abb. 33 Xala, der „Ort des vielen Sandes“, Codex Mendoza fol. 40r., aus: Anawalt 1992: 242.  
 Abb. 34 Yztapan, der „Ort am Salz“, Codex Mendoza fol 38r., aus: Anawalt 1992: 232.  
 Abb. 35 Yztatlan, der „Ort des vielen Salzes“, Codex Mendoza fol. 13v., aus: Anawalt 1992: 232.  
 Abb. 36 Mamalhuaztepec, der „Ort am Berg der Feuerbohrer (Taurus)“, Codex Mendoza fol. 7v, aus: 1992: 20.

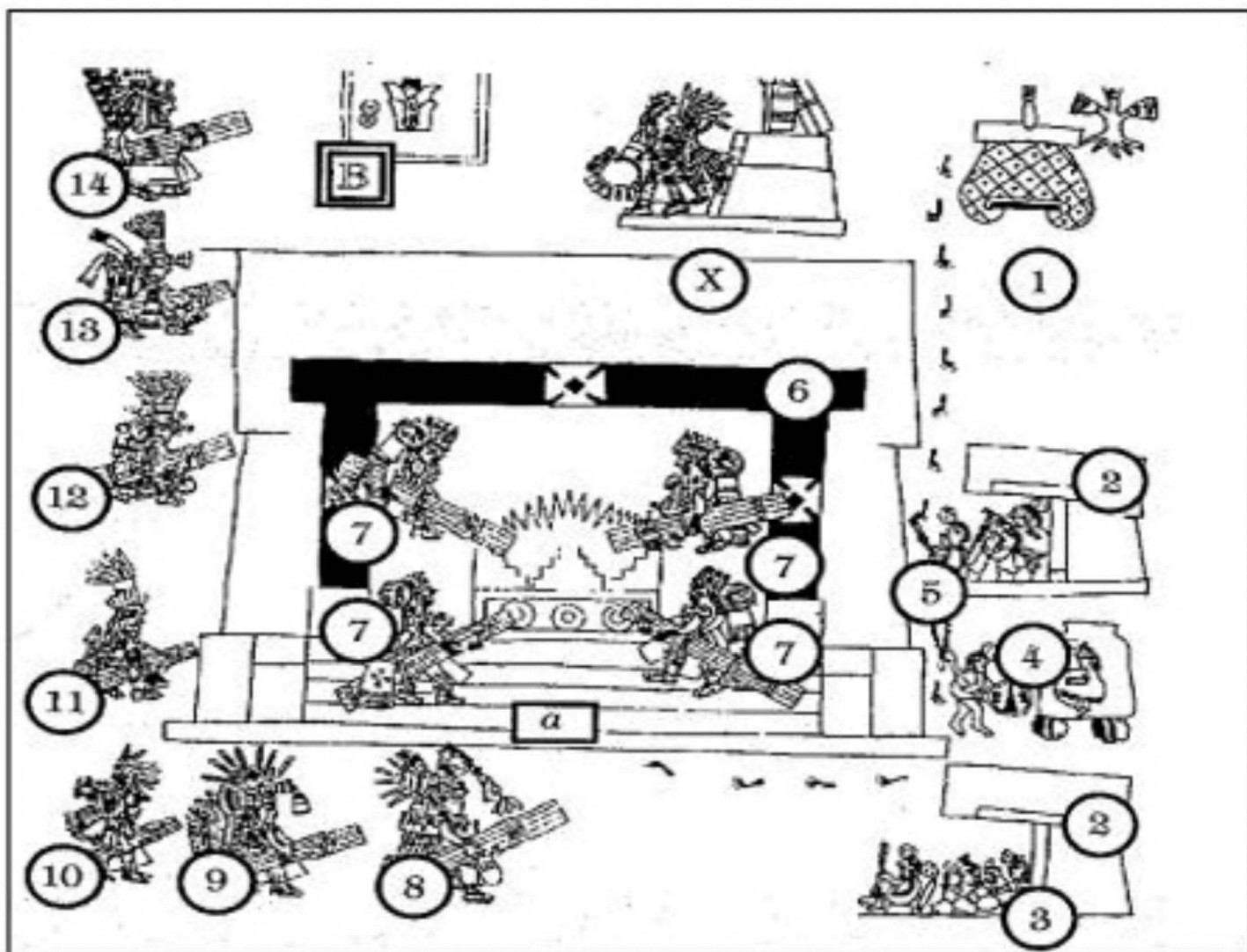


Abb. 37

Codex Borbonicus fol. 34.



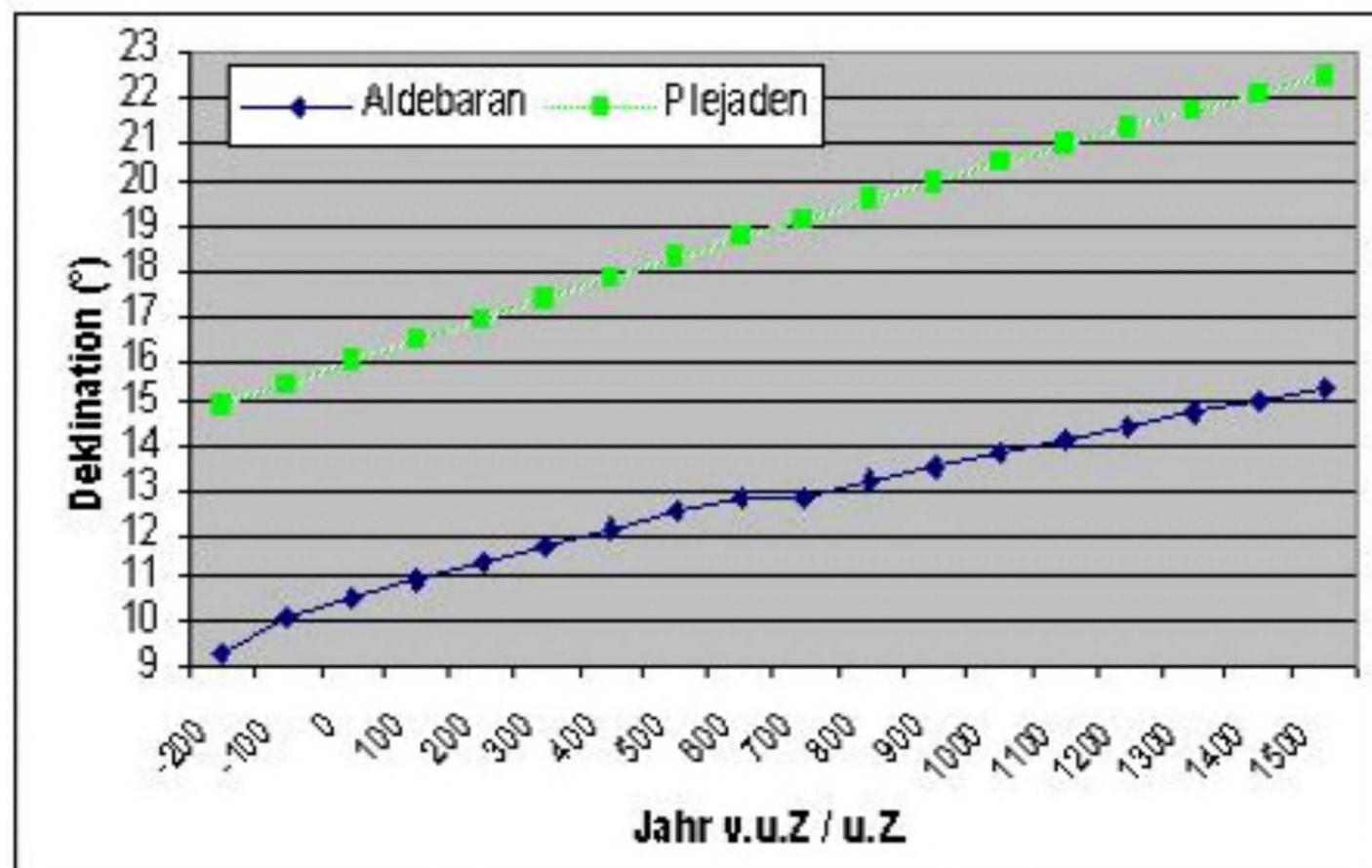


Abb. 38

Präzession von Aldebaran und den Plejaden über einen Zeitraum von 1800 Jahren

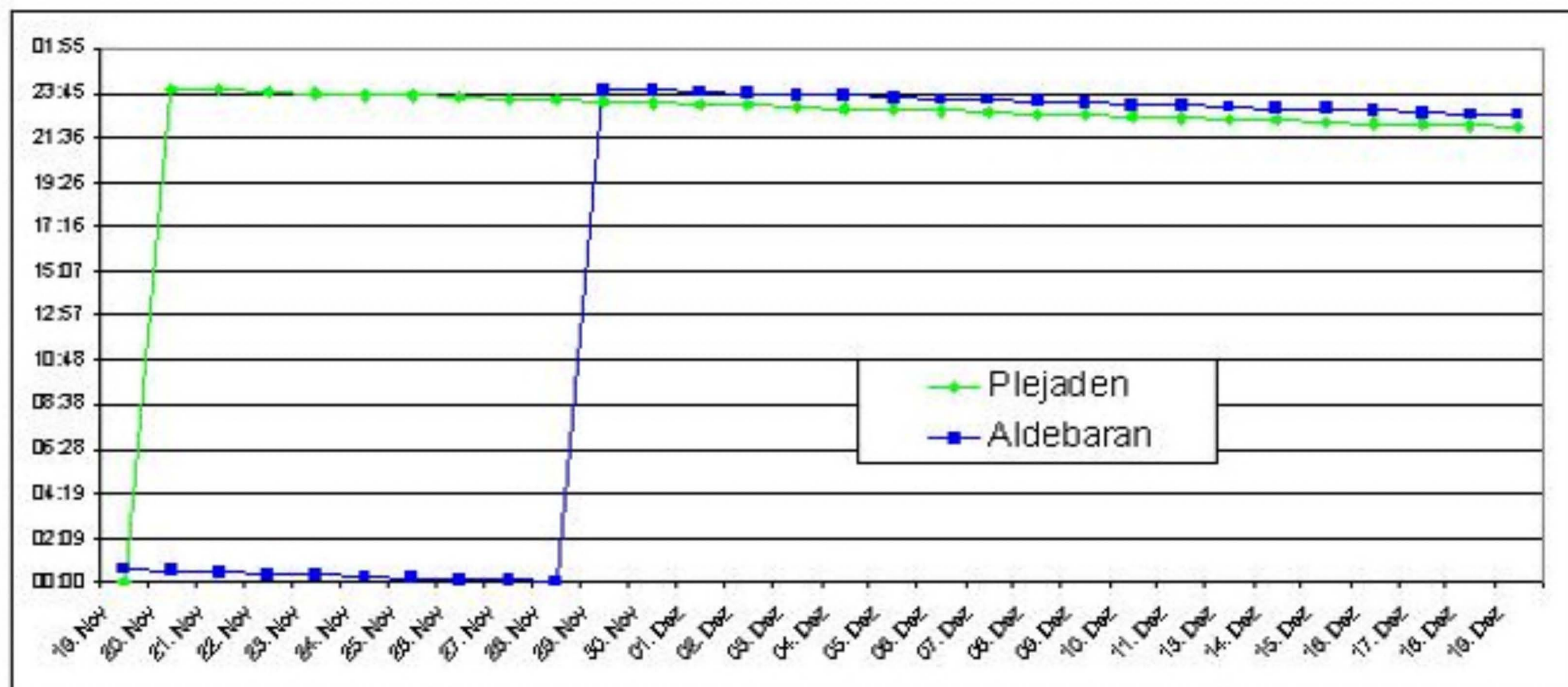


Abb. 39

Höchststand von Aldebaran und den Plejaden 19° n.B. im 15. Jhd.



Abb. 40



Abb. 41



Abb. 42

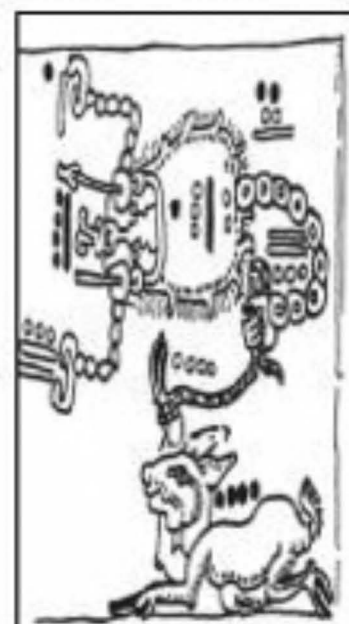


Abb. 43

Abb. 40 Schildkröte mit der Darstellung der drei hellsten Sterne des Orion, aus: Madrider Codex fol. 71a.

Abb. 41 Schildkröte mit drei T510 (b) Stern glyphen, aus: Bonampak, Raum 2, Struktur 1, aus: Milbrath 1999: 252.

Abb. 42 Zwei stellare Nebelschweine, die wahrscheinlich das Sternbild Leo darstellen, Bonampak, Raum 2, Struktur 1, aus: Milbrath 1999: 252.

Abb. 43 Skorpion in Konjunktion mit dem Hirschplaneten, Madrider Codex fol. 44b.

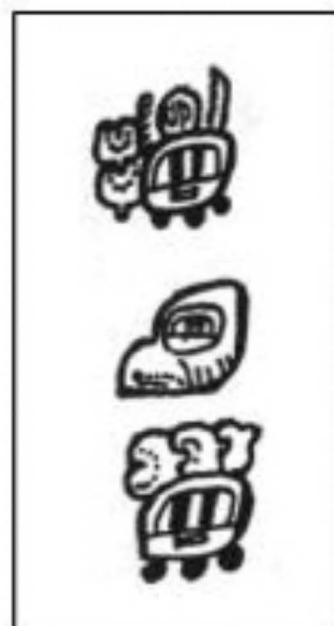


Abb. 44

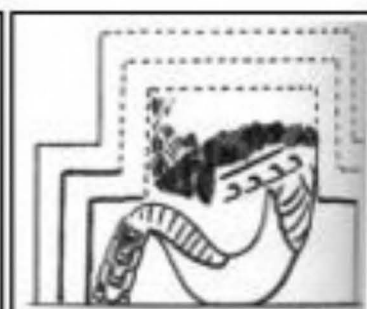


Abb. 45

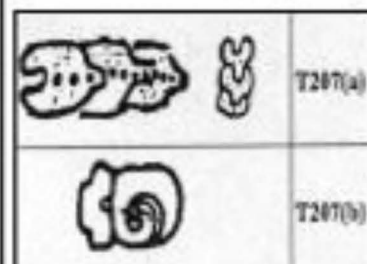


Abb. 46



Abb. 47

- Abb. 44 Katun- und Tunglyphe mit Glyphe der Plejaden T207  
Dresdener Codex, fol. 70.
- Abb. 45 Klapperschlange als Symbol der Plejaden,  
tierkreisähnliche Sequenz an der Nordfassade des Stuckpalastes  
in Acanóeh, Yucatán, aus: Seler 1960-61, Bd. 5, pl.11, Spätclassik.
- Abb. 46 Plejadenglyphe T207(a) und T207 (b), aus: Grube 1990: 97.
- Abb. 47 Skorpion, Schildkröte, Klapperschlangenschwanz (v.l.n.r.) Pariser Codex, fol. 24.

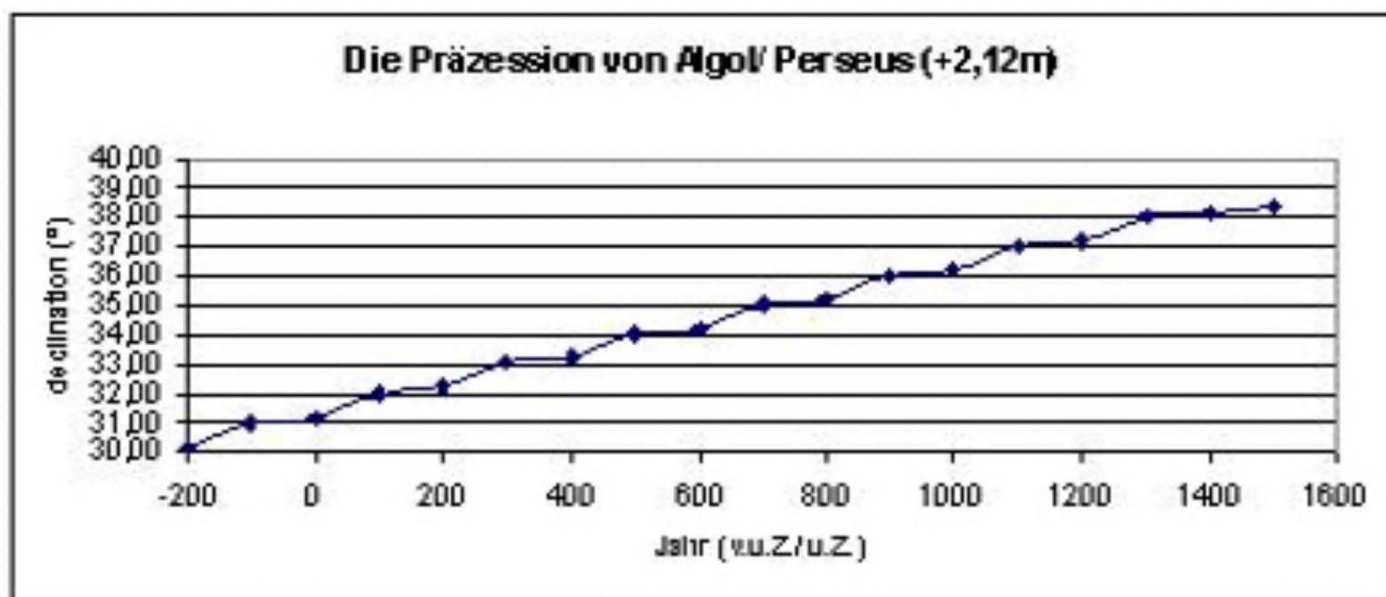
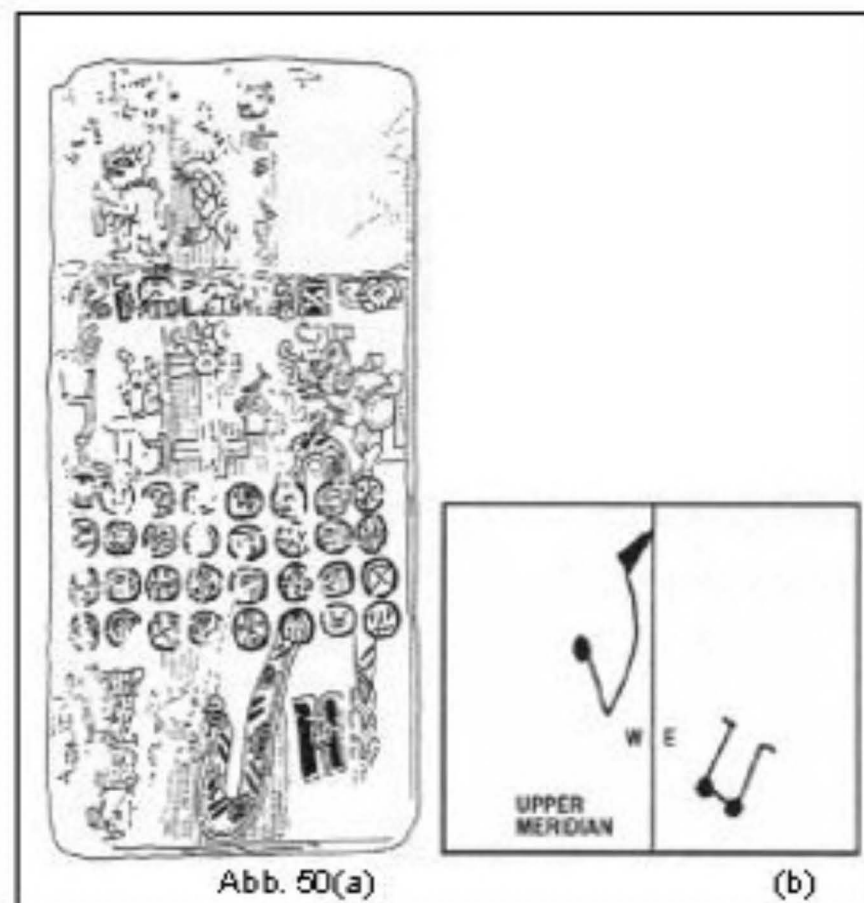
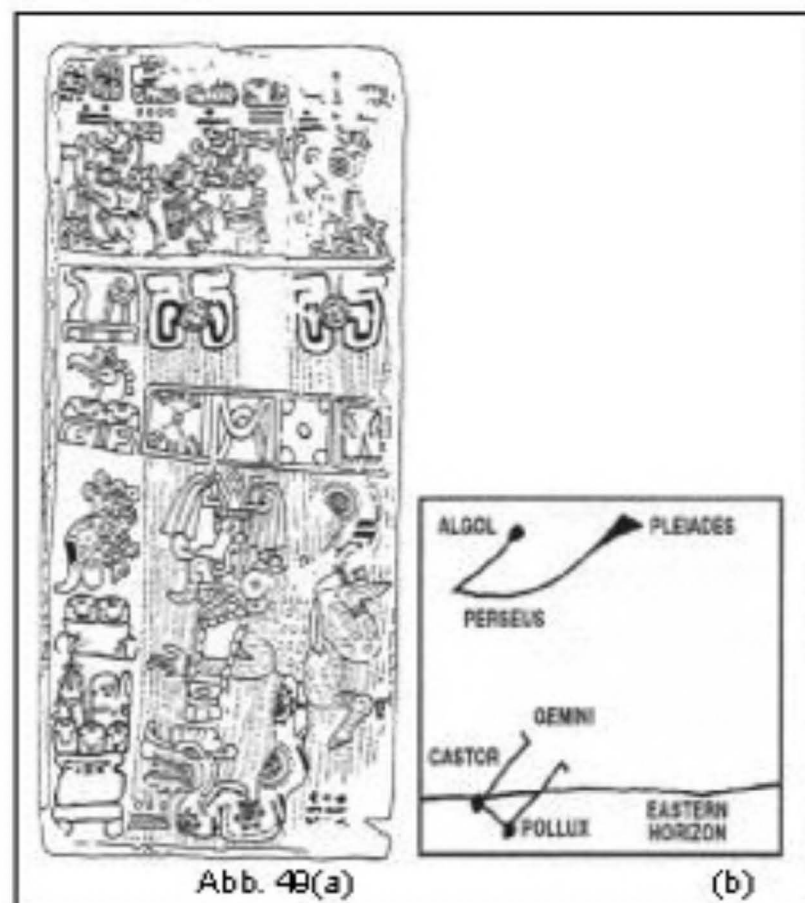


Abb. 48 Die Präzession von Algol im Sternbild Perseus



- Abb. 49(a)      Madrider Codex, fol. 12.  
 Abb. 49(b)      Position der Plejaden mit Perseus und Algol sowie Gemini  
                      am 22. Dezember (Wintersolstitium), Skizze aus: Milbrath 1999: 260.
- Abb. 50(a)      Madrider Codex, fol. 13.  
 Abb. 50(b)      Position der Plejaden mit Perseus und Algol sowie Gemini  
                      am 8. Februar (Plejaden im Zenit), aus: Milbrath 1999: 260.

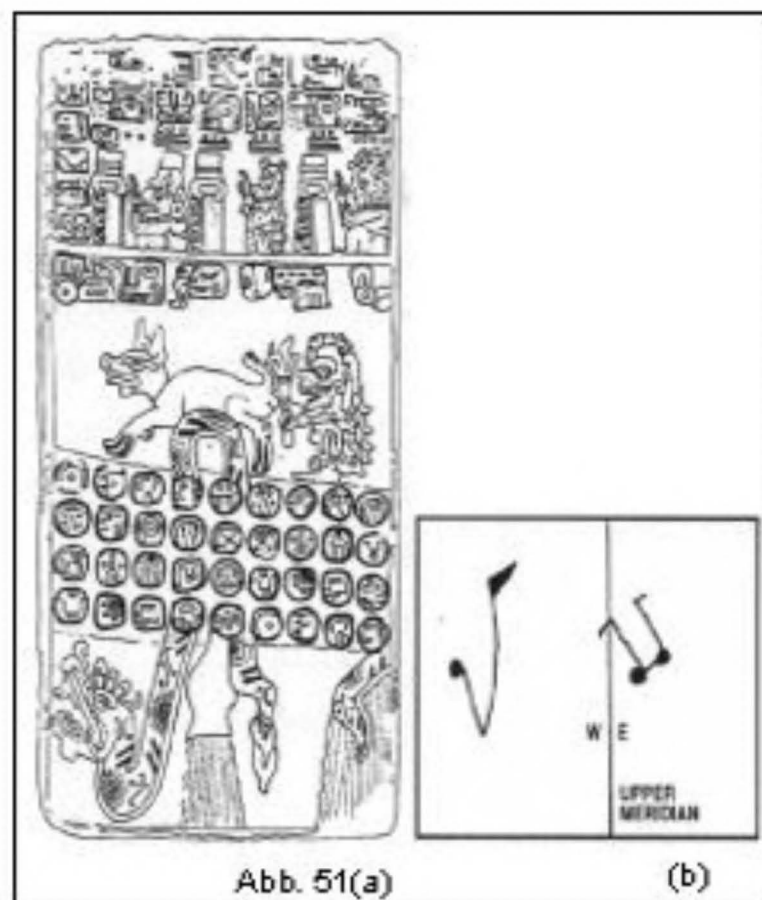


Abb. 51(a)

(b)

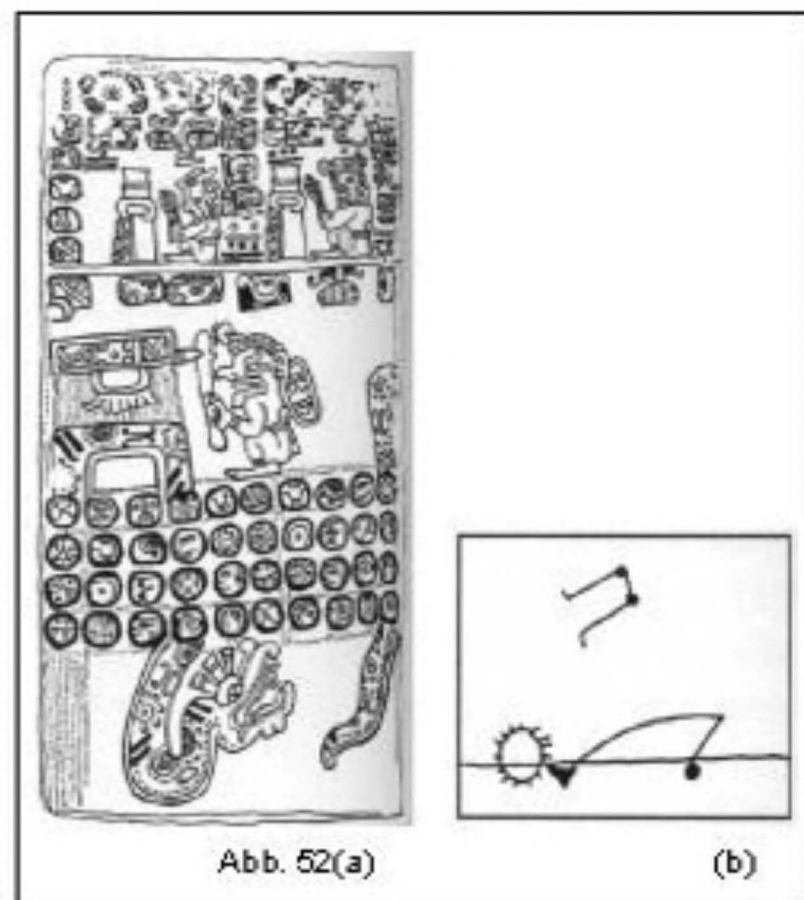


Abb. 52(a)

(b)

Abb. 51(a)

Madrider Codex, fol. 14.

Abb. 51(b)

Position der Plejaden mit Perseus und Algol sowie Gemini  
am 21. März (Frühlingsäquinoktium), Skizze aus: Milbrath 1999: 260.

Abb. 52(a)

Madrider Codex, fol. 15.

Abb. 52(b)

Position der Plejaden mit Perseus und Algol sowie Gemini  
am 20. Mai (1. Zenitstand der Sonne), aus: Milbrath 1999: 260.

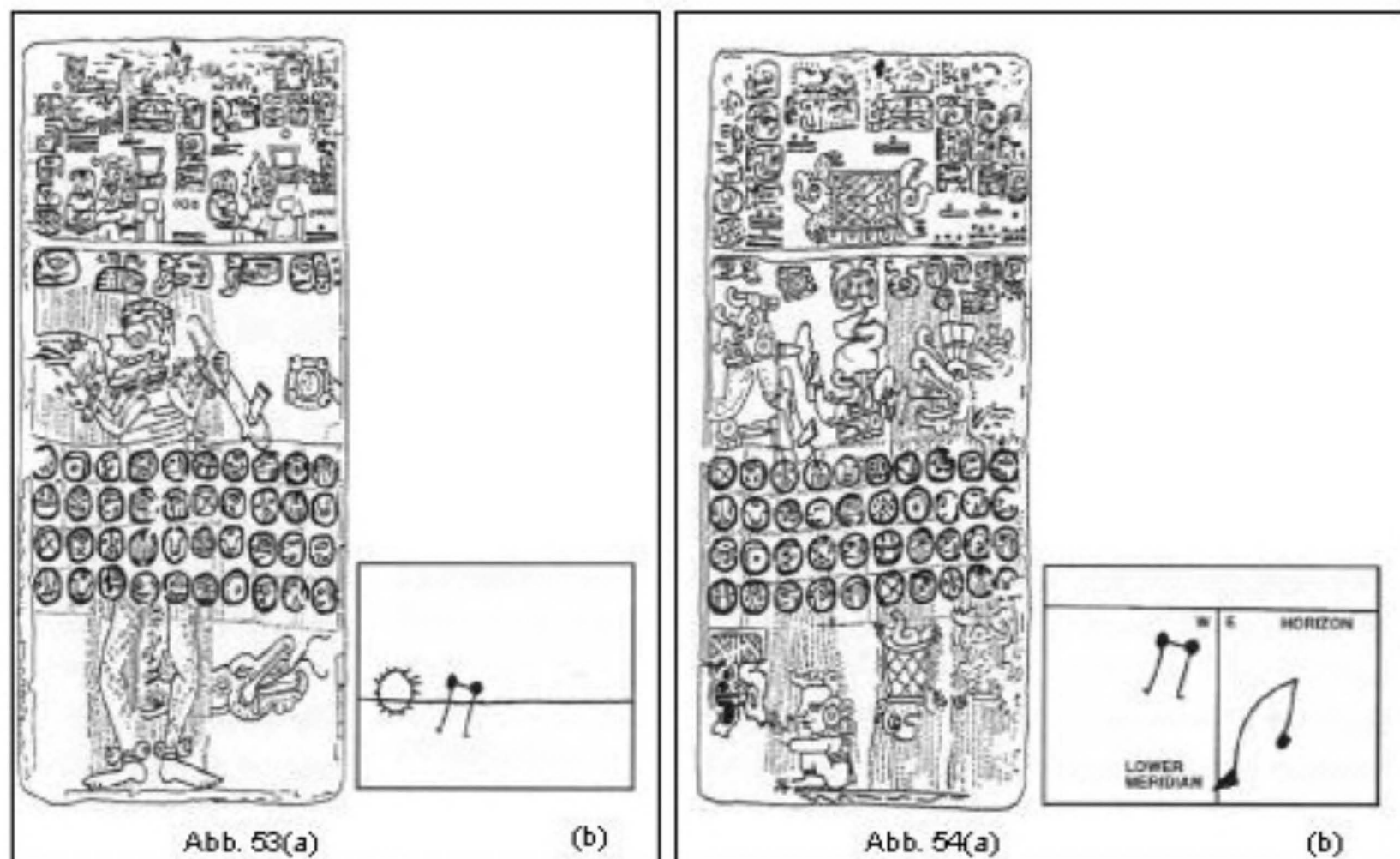


Abb. 53(a) Madrider Codex, fol. 16.

Abb. 53(b) Position der Plejaden mit Perseus und Algol sowie Gemini am 21. Juni (Sommersolstitium), Skizze aus: Milbrath 1999: 260.

Abb. 54(a) Madrider Codex, fol 17.

Abb. 54(b) Position der Plejaden mit Perseus und Algol sowie Gemini am 24. Juli (2. Zenitstand der Sonne), aus: Milbrath 1999: 260.



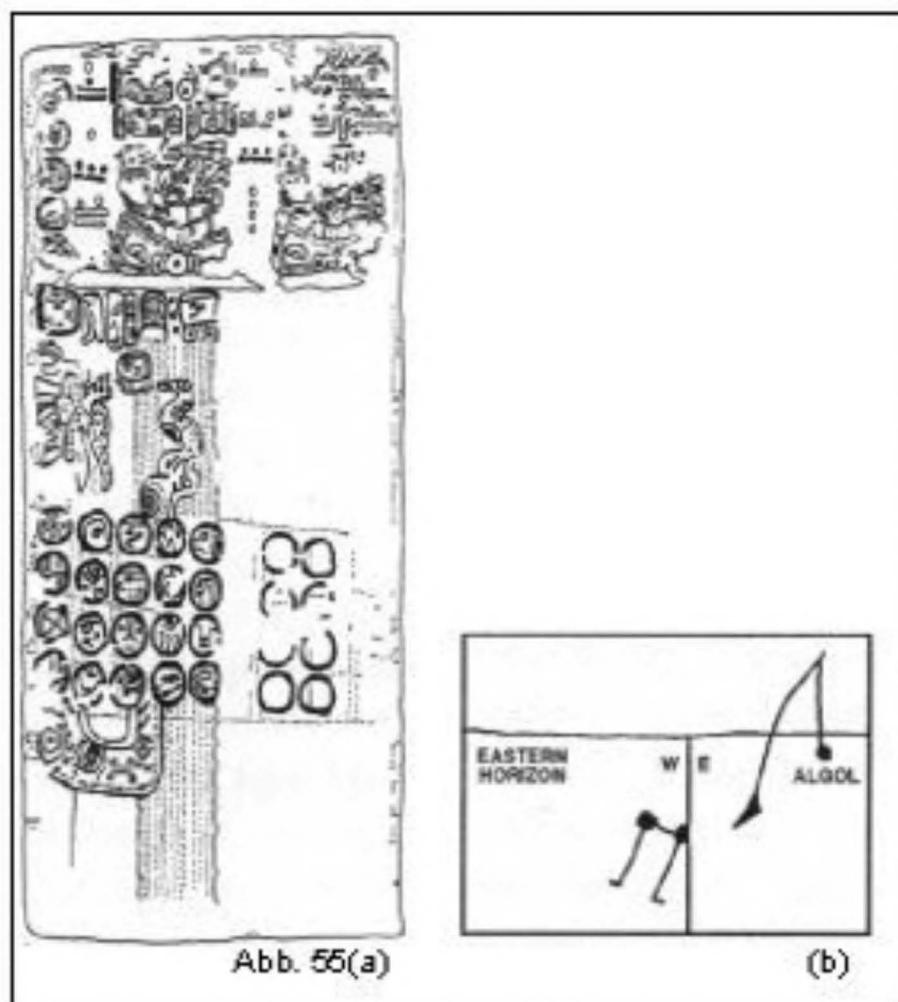


Abb. 55(a)

Madrider Codex, fol. 18.

Abb. 55(b)

Position der Plejaden mit Perseus und Algol sowie Gemini  
 am 20. September Herbstäquinoktium, Skizze aus: Milbrath 1999: 260.



Abb. 56

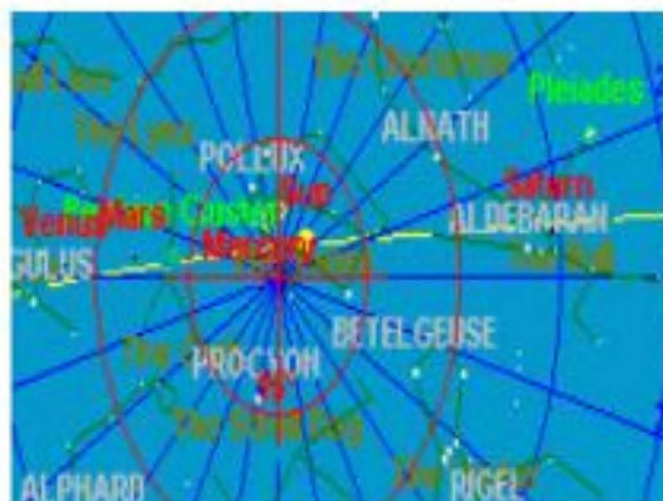


Abb. 57

Abb. 56/57 Der retrograde Verlauf der Venus im Bezug zu den Plejaden.

Abb. 56 Chichen Itzá 10.03. 1500 19:21 Uhr

Abb. 57 Chichen Itzá 20.06. 1500 14:35 Uhr

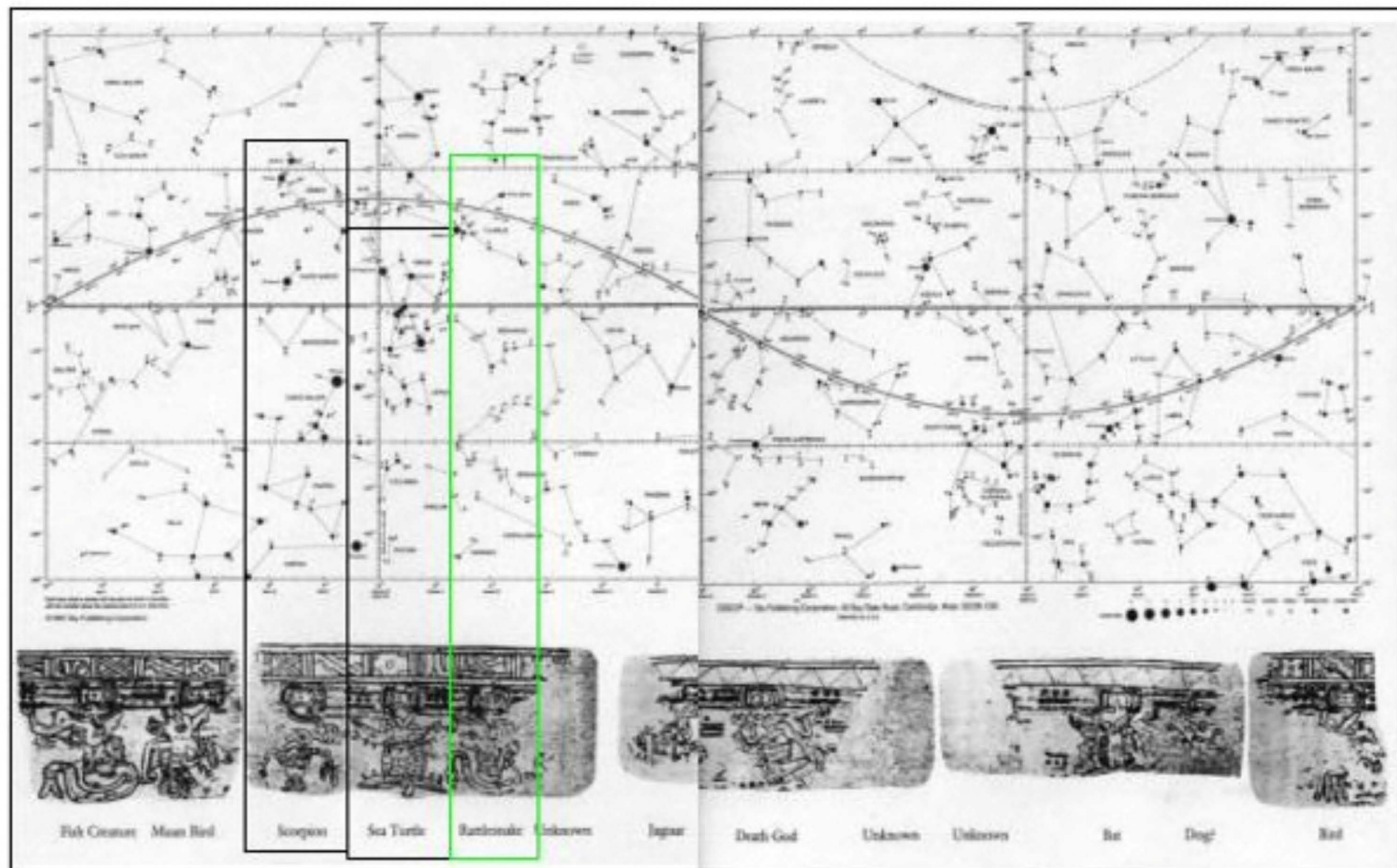


Abb. 58

Die Sternbilder im Pariser Codex, nach 28 Tagen befindet sich die Schildkröte (Orion) an der Position der Klapperschlange, aus: Love 1994: 106, fig. 10.7.

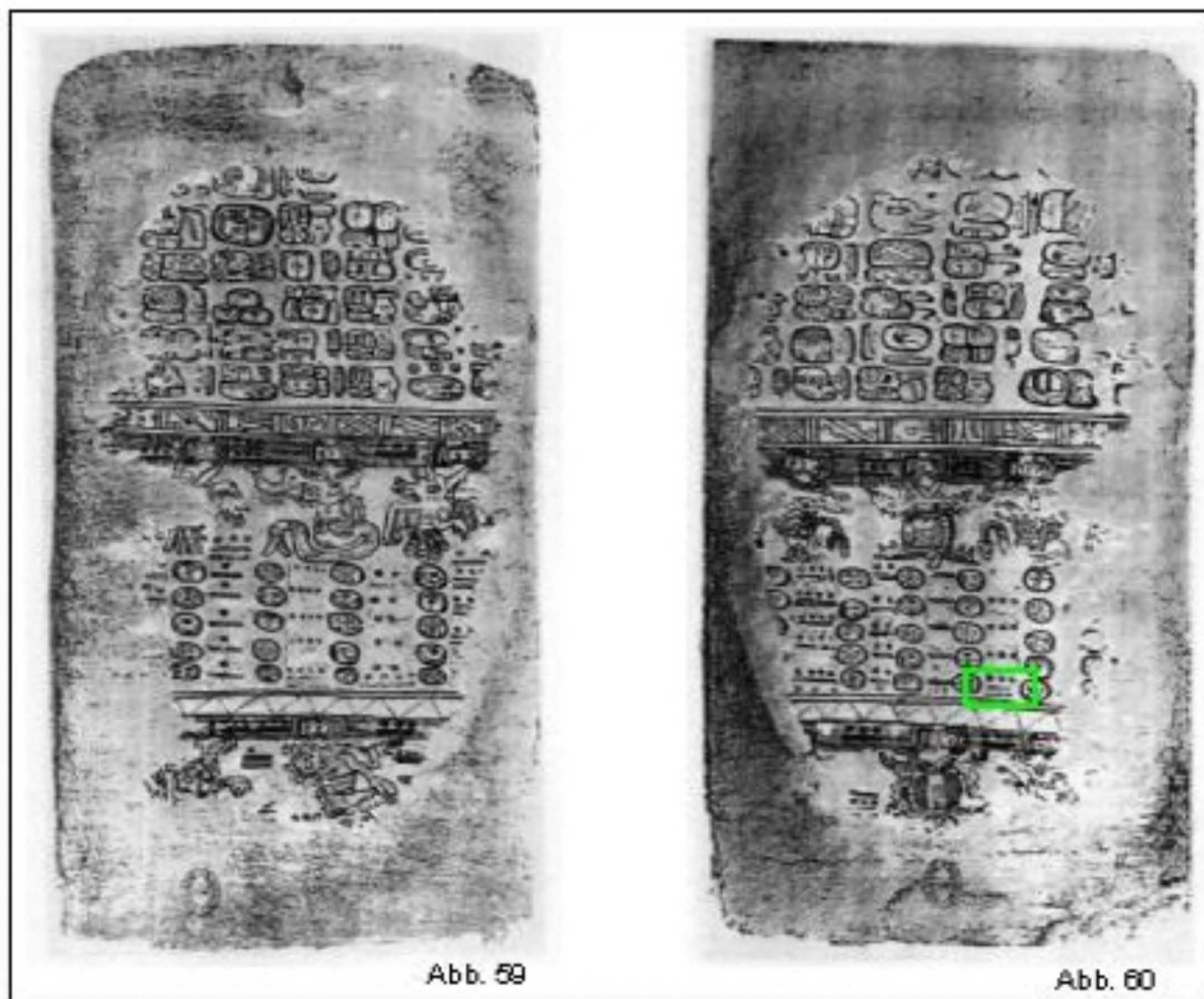


Abb. 59

Pariser Codex, fol. 23.

Abb. 60

Pariser Codex, fol. 24, eingerahmter Bereich kennzeichnet die nachträglichen Korrektur eintragungen.